



IBAN NL15 RABO 0307 33 99 20

KvK Gouda 29037057

Lid INCE • NAG • ABAV • Ti-Kviv

www.av-consulting.nl

NL - 8033.00.591.B.01

Rapport 2006006608–20211654h–3

10 mei 2023

TRILLINGSONDERZOEK

Stedenbouwkundig plan spoorzone Ravenstein
Randvoorwaarden teneinde te voldoen aan de streefwaarden uit de
richtlijn B: "Hinder voor personen in gebouwen".
in nieuwbouw woningen

AKQUESTIE

TRILLINGEN

MILIEU-
VERGUNNINGEN

LUCHTONDERZOEK

BEZWAAR
EN BERDEP

Opdrachtgever
Gemeente Oss
Postbus 5
5340 BA ISS

Adviseur
Ad (Arie) Vreeswijk, M.Sc. INCE

Inhoudsopgave

1. INLEIDING.....	1
1.1. Algemeen	1
1.2. Gegevens	1
2. SBR-RICHTLIJN B: HINDER VOOR PERSONEN IN GEBOUWEN	2
2.1. Inleiding	2
2.2. Streefwaarden uit de SBR-B	3
3. METINGEN EN BEREKENING	5
3.1. Situatie en uitgangspunten	5
3.2. Trillingsmetingen.....	7
3.3. Overdrachtsprognoses van de trillingen door de bodem.....	9
3.4 Overdrachtsprognoses betreffende gebouwen.....	11
4. RESULTATEN TRILLINGSHINDER EN PROGNOSE	13
4.1. Meetresultaten	13
4.2. Nauwkeurigheidsmarge metingen.....	14
5. MOGELIJKE MAATREGELLEN	15
6. PROGNOSES NA MAATREGELLEN AAN DE WONINGEN	16
6.1. Hinder zones	16
6.2. Vloer resonanties	17
7. RANDVOORWAARDEN BOUWEN VAN WONINGEN	18
6.1. Zone 0	18
6.2. Zone 1	18
6.3. Zone 2	18
6.4. Zone 3	19
6.5. Zone 4	19
6.6. Zone 5	19
6.7. Nauwkeurigheidsmarge berekeningen	19
6.8. Disclaimer	19
7. CONCLUSIES	20

BIJLAGEN:

1. MEETRESULTATEN
2. BEREKENINGSBLADEN
3. TERMEN EN DEFINITIES VAN SBR-B
4. TEKENINGEN

1. INLEIDING

1.1. Algemeen

In opdracht van de Gemeente Oss is door AV Consulting B.V. Raadgevende Ingenieurs een trillingsonderzoek uitgevoerd voor een nieuw stedenbouwkundig plan binnen de spoorzone te Ravenstein. Het stedenbouwkundig plan voorziet o.a. in trillingsgevoelige ruimten door de bouw van woningen op verschillende afstanden van het spoor. Het onderzoek is een vervolg op een eerdere onderzoek waarin o.a. is gekeken naar maatregelen in het overdachtsgebied, tussen het spoor en geprojecteerde woningen.

Doel van het onderzoek is het prognosticeren van de trillingsniveaus in de panden ten gevolge van het treinverkeer op de spoorlijn 's-Hertogenbosch - Nijmegen. In het onderzoek worden randvoorwaarden aan stedenbouwkundigplan geadviseerd teneinde te voldoen aan de streefwaarden uit de SBR-richtlijn B: "Hinder voor personen in gebouwen".

ProRail adviseert indicatief onderzoek te doen naar de te verwachten trillingsniveaus. Aanleiding voor het onderzoek is de zorgplicht van de opdrachtgever om mogelijk toekomstige hinder in de nieuwe panden, ten gevolge van de spoortrillingen te voorkomen of beperken. Ten behoeve van het onderzoek zijn er trillingsmetingen verricht conform de voorschriften uit de SBR-richtlijn B: "Hinder voor personen in gebouwen" gedurende ca. één representatieve week.

Voor de overdracht van de trillingen door de bodem is gebruikgemaakt van de empirische formule van Barkan en van metingen in situ. Voor de overdracht van de trillingen door de bodem naar het gebouw en van gebouw naar de vloer zijn frequentie afhankelijke overdrachtsfuncties gebruikt.

1.2. Gegevens

Ten behoeve van het onderzoek is gebruik gemaakt van de navolgende gegevens:

- 1) De SBR-richtlijn B "Hinder voor personen in gebouwen" van de Stichting Bouwresearch.
- 2) Document "Handreiking Nieuwbouw en Spoortrillingen" d.d. mei 2019 van de van Ministerie van Infrastructuur en Waterstaat.
- 3) Document "Maatregelcatalogus spoortrillingen" d.d. 8 januari 2016 van ProRail.
- 4) Rapport M.2019.0471.00.R001, "Trillingsonderzoek spooronderdoorgang N226, Maarsbergen" d.d. 2 oktober 2019.
- 5) Publicatie nr. 9/1995 "Rekenmodel voor de bepaling van trillingssterkte" van de Ministerie van Volkshuisvesting.
- 6) Plattegrondtekening van het stedenbouwkundige plan in de spoorzone te Ravenstein door opgave van de opdrachtgever.
- 7) Boormonsterprofiel nr. B45F0087 beschikbaar op DINOloket.
- 8) Bijlage IV behorende bij hoofdstuk 4 van het "Reken- en Meetvoorschrift Geluid 2012".
- 9) Gegevens van het spoorverkeer uit het geluidregister spoor.
- 10) Publicatie "Simplified design for vibration screening by open and in-filled trenches" van S. Ahmad en T. M. Al-Hussaini (ASCE).
- 11) Rapport "Trillingsonderzoek Doorstroomstation Utrecht, Onderzoek naar mitigerende maatregelen" d.d. 2 december 201 van Ingenieursbureau Movares.
- 12) Hölscher, Waarts "Reliability of vibration predictions and reducing measures", rapport DC-01.05.02-20.
- 13) TNO-onderzoeken 02109 en 02107, d.d. mei 2009.

2. SBR-RICHTLIJN B: HINDER VOOR PERSONEN IN GEBOUWEN

2.1. Inleiding

De meet- en beoordelingsrichtlijn B, "Hinder voor personen in gebouwen" bevat richtlijnen voor het meten en beoordelen van hinder voor personen. De richtlijn maakt onderscheid in de functie van het gebouw, aard van de trillingsbron en in bestaande, gewijzigde en nieuwe situaties.

In de Richtlijn vindt de beoordeling plaats door middel van A_1 , A_2 en A_3 :

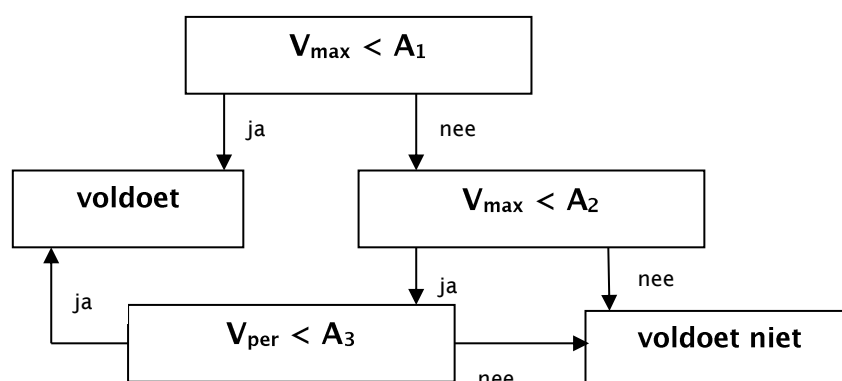
1. A_1 is de onderste streefwaarde voor de trillingssterkte V_{max} ;
2. A_2 is de bovenste streefwaarde voor de trillingssterkte V_{max} ;
3. A_3 is de streefwaarde voor de trillingssterkte V_{per} .

Voor de hoogte van de streefwaarden geldt in algemene zin dat $A_3 < A_1 \leq A_2$.

Er wordt voldaan aan de streefwaarden indien:

4. De waarde van de maximale trillingssterkte in een ruimte (V_{max}) kleiner is dan A_1 of
5. De waarde van de maximale trillingssterkte van een ruimte (V_{max}) kleiner is dan A_2 waarbij de trillingssterkte over de beoordelingsperiode voor de ruimte (V_{per}) kleiner is dan A_3 .

De procedure voor de beoordeling van V_{max} en V_{per} is in het onderstaande stroomschema aangegeven.



In de richtlijn zijn de streefwaarden onder andere gebaseerd op de functie van het gebouw waar de trillingen beoordeeld moeten worden en de aard van de trillingsbron. In de onderhavige situatie worden de optredende trillingen beschouwd als herhaald voorkomende trillingen gedurende lange tijd. De situatie kan worden beschouwd als een nieuwe situatie aangezien het een nieuwbouwplan betreft. In tabel 1 zijn de streefwaarden opgenomen.

Tabel 1: Overzicht streefwaarden hinder.

Gebouwfunctie (SBR - B richtlijn)	Dag- en avond			Nacht		
	A ₁ [-]	A ₂ [-]	A ₃ [-]	A ₁ [-]	A ₂ [-]	A ₃ [-]
Wonen (nieuwe situatie)	0,1	0,4	0,05	0,1	0,2	0,05

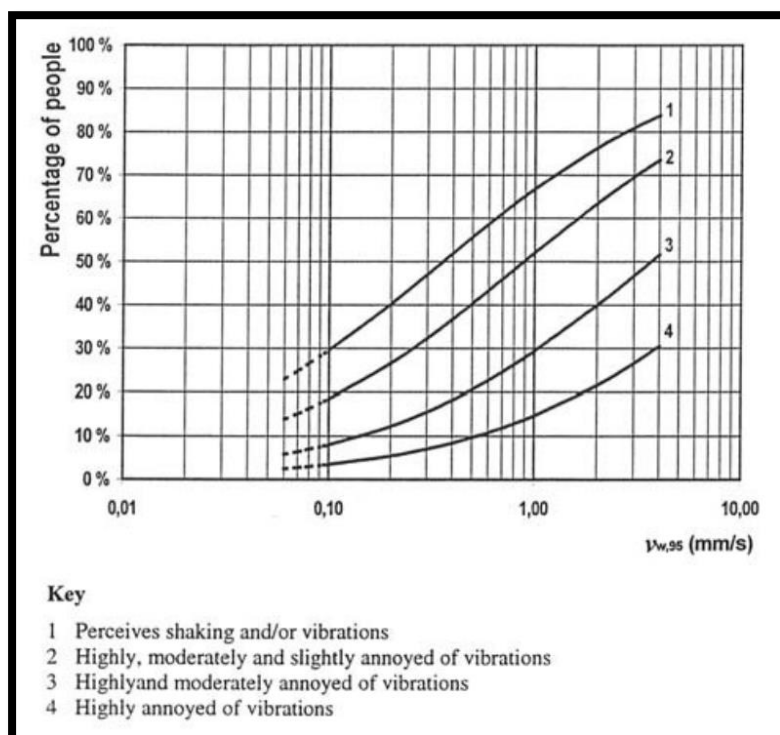
Toetsing zal plaatsvinden voor zowel de dag-, avond- en nachtperiode aangezien het railverkeer plaatsvindt in deze perioden.

2.2. Streefwaarden uit de SBR-B

De normen voor trillingen uit de SBR-richtlijn B worden streefwaarden genoemd en zijn dus geen grenswaarden. De reden hiervoor is omdat de beoordeling van trillingshinder een subjectief element bevat. De ondervonden hinder is o.a. afhankelijk van de gevoeligheid van het individu voor trillingen, de omstandigheden waaronder de trillingen worden ondervonden (slapen, werken, studeren), de tijdsduur en tijdstip, type trillingen, gewenning enz.

De streefwaarden uit de SBR-B zijn zodanig gekozen dat slechts een klein percentage (ca. 5%) hinder zal ondervinden uitgaande van de "gemiddelde" gevoelsdrempel van 0,1 [mm/s]. Bij de prognose van trillingen wordt meestal een veiligheidsfactor gehanteerd d.w.z. voor 95% van de trillingsprognoses zal het werkelijke niveau onder deze waarde liggen.

De SBR richtlijn B is derhalve nogal conservatief. Onderstaande grafiek geeft een indruk van het percentage gehinderden als functie van de trillingssterkte.



Grafiek 1: Blootstellingseffect curve voor trillingen van verkeer

Uit bovenstaande grafiek blijkt dat bij 0,1 [mm/s], ca. 30% van de mensen trillingen voelen, waarvan ca. 4% aangeeft ernstige hinder te ondervinden.

Voor de afweging van de toelaatbaarheid van de trillingssterkte door railverkeer gedurende langere tijd kan bij overschrijding van de streefwaarden aanvullend gebruik worden gemaakt van de navolgende kwalificatie van de hinder zoals aangegeven in tabel 2.

Tabel 2: Hinderkwalificatie voor railverkeer volgens SBR-richtlijn B.

V_{max} [-]	Hinderkwalificatie
< 0,1	Geen hinder
0,1 - 0,2	Weinig hinder (bestaande situatie)
0,2 - 0,8	Matige hinder
0,8 - 3,2	Hinder
> 3,2	Ernstige hinder

Het accepteren van (matige) trillingshinder door overschrijding van de streefwaarden kan onder meer afhankelijk zijn van de mate waarin de trillingssterkte voorkomt, de aanwezigheid van andere trillingsbronnen (de achtergrondtrillingen), de mogelijkheid tot het treffen van trillingsreducerende maatregelen en de historie.

In geval van mogelijke hinder dienen de betrokken partijen te overleggen.

Alleen ernstige hinder ($V_{\max} > 3,2$) is niet toelaatbaar.

De uiteindelijke afweging omtrent de acceptatie van de overschrijding van de streefwaarde wordt gemaakt door de gemeente om een beperkte mate van trillingshinder te accepteren conform de afwegingen uit SBR richtlijn B. De ernst van de overschrijding kan beoordeeld worden aan de hand van de streefwaarden voor bestaande situaties.

Tabel 3: Streefwaarden herhaald voorkomende trillingen gedurende langere tijd voor bestaande situaties

gebouwfunctie	dag en avond			nacht		
	A ₁	A ₂	A ₃	A ₁	A ₂	A ₃
gezondheidszorg	0,2	0,8	0,1	0,2	0,4	0,1
wonen	0,2	0,8	0,1	0,2	0,4	0,1
onderwijs en kantoor	0,3	1,2	0,15	0,3	1,2	0,15
bijeenkomst	0,3	1,2	0,15	0,3	1,2	0,15
kritische werkruimte	0,1	0,1	-	0,1	0,1	-

In bijlage 3 zijn termen en definities gegeven relaterend aan de SBR-richtlijn B.

3. METINGEN EN BEREKENING

3.1. Situatie en uitgangspunten

De opdrachtgever wil mogelijke trillingshinder ten gevolge van treinverkeer voor bewoners van de nieuwe woningen voorkomen.

Uit de openbare gegevens uit o.a. www.ns.nl blijkt dat op dit traject het spoorverkeer bestaat uit reizigerstreinen - namelijk sprinters en intercity's - en goederentreinen.

In figuur 1 is de nieuwe situatie weergegeven.



Figuur 1: Globale ligging van het plangebied.

Het plangebied betreft woningen. Het aantal woningen, de positie, het funderingssysteem en de vloertypen van de woningen zijn in de onderwerpelijke situatie nog niet bekend.

In de berekeningen wordt uitgegaan van “op palen gefundeerd” aan de vloervelden en het gewicht van de gebouwen worden eisen gesteld welke afhankelijk zijn binnen welke trillingszone deze gebouwen gerealiseerd worden.

Tussen de spoorlijn en het noordelijke gebied ten westen van de Stationspad ligt een sloot van ongeveer 4 meter breed. Tijdens de meetperiode was het onmogelijk om metingen uit te voeren in het gebied ten oosten van de Stationspad, zoals aangegeven door Buro SRO. Hier ligt geen sloot. Wij verwachten dat - omdat het onderzoek rekening houdt met een worst-case scenario - de prognose resultaten ook in dit gebied geldig zullen zijn.

3.2. Trillingsmetingen

Onbemande trillingsmetingen zijn uitgevoerd op het terrein ten noorden en ten zuiden van het spoor met twee tri-axiale trillingsopnemers welke gemonteerd zijn op 1 meter lange metalen staven die in de grond zijn gedreven. Dit is een beproefde methode om laagfrequente trillingen in de bodem te kunnen meten. Een derde trillingsmeter is gebruikt om de mate van de overdracht van trillingsgolven in de grond te beoordelen.

Tijdens de metingen was het terrein niet in gebruik.

De meetposities liggen op een denkbeeldige lijn loodrecht uit het spoor op de volgende meetposities:

- Op een afstand van ca. 15 meter (meetpositie 1, ten zuiden van het spoor);
- Op een afstand van ca. 25 meter (meetpositie 2, ten noorden van het spoor);
- Op een afstand van ca. 35 meter (meetpositie 3, ten noorden van het spoor).



Figuur 2: Overzicht van de meetposities in het plangebied.

Op basis van de meetresultaten op de meetposities 1 en 2 zijn de trillingsniveaus met hulp van de empirische formule van Barkan op verschillende afstanden vanaf het spoor berekend. De resultaten van het onderzoek dienen een indicatief antwoord te geven op de vraag of er kans op hinder is in de toekomstige gebouwen op verschillende afstanden van het spoor. Doel van de prognoseberekningen is om trillingszones te bepalen.

Hiertoe is een frequentie afhankelijke overdrachtsfunctie gebruikt voor de overdracht van de trillingen in de bodem naar de fundering en van de fundering naar de vloer.

In figuren 3 t/m 5 op bladzijde 7 zijn de ondergrondse meetposities 2 en 3 weergegeven.



Figuur 3: Foto van meetpositie 2 in het terrein, ten noorden van het spoor.



Figuur 4: Foto van de gefoon op meetpositie 2.



Figuur 5: Foto van meetpositie 3, ten noorden van het spoor.

In de onderhavige situatie is ervoor gekozen om gedurende ca. één representatieve week de trillingen te meten waardoor een goed beeld van de lokale situatie is verkregen. In de meetpunten wordt in één verticale en in twee onderling loodrechte horizontale richtingen gemeten.

De onbemande metingen zijn uitgevoerd van maandag 28 juni 2021 in de ochtend t/m de ochtend van maandag 5 juli 2021. Op de meetlocatie zijn in drie richtingen (één verticaal en twee horizontaal) de optredende trillingen geregistreerd. De z-richting is verticaal, de x-richting loopt parallel aan de spoorbanen. Bij de metingen is gebruikgemaakt van de in tabel 4 vermelde meetapparatuur. Deze meetapparatuur voldoet aan de specificaties uit de SBR-B richtlijn.

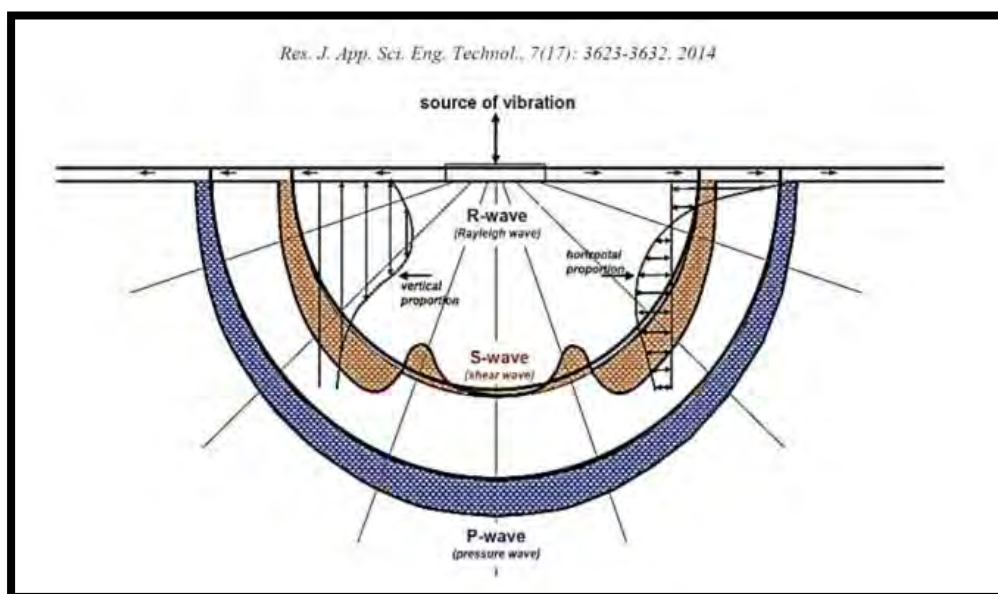
Tabel 4: Gebruikte meetapparatuur.

Omschrijving	Merk	Type
Trillingsanalyser	Profound	Vibra SBR +
3-D geophon	Profound	Vibra SBR +
Wireless 8g Vibration Meter	AV-Consulting/Convergence Instruments	SBR/DIN-4150

3.3. Overdrachtsprognoses van de trillingen door de bodem

Trillingen worden bepaald door een snelheidsamplitude in combinatie met de dominante frequentie. Door de trillingsbron ontstaan trillingen die onder te verdelen zijn in drie componenten namelijk Rayleighgolf (67% van de energie), schuifgolf (26% van de energie) drukgolf (7% van de energie).

De Rayleigh golf is bepalend voor het treffen van maatregelen in het overdacht gebied in deze situatie. Rayleigh golven zijn het belangrijkste voor de excitatie van gebouwen, deze worden ook wel oppervlakte genoemd golven omdat ze aan het oppervlak van de bodem voorkomen. In ondergrondse lijnen, Rayleigh golven zijn ontstaan uit de grondoppervlakreflectie van P- en S-golven. Rayleigh-golven kunnen alleen voorkomen in een homogeen half-open medium of in meer gecompliceerd maar met een enkele schijnbare snelheid als functie van de frequentie. Naast de bovengenoemde golven zijn er in theorie nog andere golven mogelijk.



Figuur 6: Diverse trillingsgolven; drukgolf, schuifgolf en Rayleigh golf

Uit eerder onderzoek van ons bureau, rapport 2006006608-20211654h-3 is gebleken dat maatregelen in het overdrachtsgebied tussen het spoor en de woningen geen soelaas biedt. Uit de berekeningen bleek dat er géén dempend effect op de trillingsniveaus optreedt voor de dominante frequenties op of rond ca. 4 - 8 Hz.

Op basis van de meetresultaten is de theoretische overdracht op basis van de empirische formule van Barkan bepaald en dus zijn de trillingsniveaus in de bodem op verschillende afstanden van het spoor berekend.

Voor de overdracht van trillingen door de bodem wordt gebruikgemaakt van de formule van Barkan:

$$V(r) = V(r_0) \left[\frac{r_0}{r} \right]^n e^{-\alpha(r-r_0)}$$

waarin:

$V(r)$	amplitude trillingssnelheid op een afstand r van de bron
$V(r_0)$	amplitude trillingssnelheid op referentie afstand r_0 van de bron
r	afstand van bron tot ontvanger [m]
r_0	referentie afstand tot de bron [m]
n	parameter voor beschrijving geometrische uitbreiding [-]
α	parameter voor beschrijving van de materiaaldemping [1/m]

De geometrische demping - n in de formule - is afhankelijk van het type golf en de richting vanuit de bron waarin de trillingsuitbreiding plaatsvindt. Voor de R (Rayleigh)-golven of oppervlaktegolven ($n = 0,5$) is de geometrische demping kleiner dan voor de P- (pressure) golven of compressiegolven en de S-(shear) golven of schuifgolven. Dit geeft voor de Rayleigh-golven op grotere afstand van de bron ten opzichte van de P en S-golf de grootste energie (>67%).

Uit het boormonsterprofiel beschikbaar op DINOloket alsmede uit waarnemingen in situ van de auteur van dit onderzoek blijkt dat op de locatie de bodem kleiachtig is. Daarom is voor de prognoseberekening de materiaaldemping - α in de formule - bepaald op $\alpha = 0,01$ [1/m] en $\alpha = 0,02$ [1/m] voor de lage frequenties. De theoretische materiaaldemping bedraagt $\alpha = 0,08$ [1/m] voor trillingen met een dominante frequentie rond 30 Hz. Dit betekent dat trillingsgolven met dominante frequenties rond 30 Hz (of daarboven) snel gedempt worden met de toename van de afstand.

De berekende overdracht van de trillingen in de bodem vanaf meetpositie nr. 2 tot meetpositie nr. 3 komt overeen met de gemeten waarden in situ. Zoals verwacht worden de trillingsgolven met een dominante frequentie rond 30 Hz snel gedempt in de bodem. Daarom zijn in de berekeningen de laagfrequente trillingsniveaus beschouwd.

3.4 Overdrachtsprognoses betreffende gebouwen

Trillingen worden door de bodem overgedragen naar de gebouwconstructie. De mate van trillingsoverdracht hangt af van de wijze van funderen alsmede de massa en de stijfheid van het gebouw. Maatgevend voor de toetsing is de optredende trillingssterkte in het vloerveld. De constructiewijze, het materiaal en de overspanning van een vloer alsmede de belasting bepalen de 'eigenfrequenties' of resonantie frequenties van een vloerveld en de gevoeligheid voor trillingen.

Uit het onderzoek blijkt dat de op de meetposities de meeste relevante opgetreden trillingen met betrekking tot het spoorverkeer een dominante frequenties hebben vanaf 4 Hz tot 8 Hz in de z-richting en 8 Hz in de x- en y-richting; zie bijlage 1. Deze frequenties komen overeen met de bekende spectra van trillingen afkomstig van goederen treinverkeer, uit de literatuur en uit onze meetervaring.

Fundering en gebouwconstructie

Bij de overgang van bodem naar gebouwfundatie treedt een verzwakking op van trillingen. Deze verzwakking wordt groter bij toenemende frequentie, waarbij de totale verzwakking zal afhangen van de spectrale verdeling. Voor lichte gebouwen zal de verzwakking minder zijn dan voor zwaar gebouw. In de prognose is rekening gehouden met de spectrale overdrachtswaarden uit tabel 5 die zijn gebaseerd op door TNO ontwikkelde empirische formules en eigen meetervaring.

Tabel 5: Trillingsoverdracht van bodem naar gebouw, verzwakking in dB.

Gebouw	Frequentie in Hz				
	4	8	16	32	63
Licht gebouw op staal	0	0	-1	-3	-8
Licht gebouw op palen	-2	-2	-3	-7	-12
Zwaar gebouw (Utiliteitsbouw)	-6	-6	-7	-9	-14

In de onderwerpelijke situatie is het bouwtype voor de nieuwbouw als "gebouw op palen" beschouwd. Tussen zone 1 en 2 is gerekend met zware gebouwen met 4-5 bouwlagen, tussen zone 2 en 4 met "minder zware" grondgebonden woningen.

Bij de dominante frequenties van ca. 4 en 8 Hz is de verzwakking 6 dB voor zware onderheide gebouwen met meerdere, dit is een factor van ca. 0,5 ($H_{f,xy}$ en $H_{f,z}$ in de berekeningen), voor onderheide grondgebonden woningen is de verzwakking 2 dB, dit een factor van ca. 0,8.

Vloerconstructie

Door resonanties zal de trillingssterkte in het midden van een vloerveld hoger zijn dan aan de randen. Voor de mate van resonantie zijn de demping en de ligging van eigenfrequenties van belang. Deze zijn afhankelijk van de constructiewijze, het materiaal en de vloeroverspanning.

Voor niet stationaire trillingen, zoals bij railverkeer, is de verwachting dat de versterkingsfactoren wat lager zullen uitvallen dan vermeld in tabel 6. Dit geldt met name wanneer de afstand tot de trillingsbron klein is en de aanstoting slechts over een beperkt deel van de draagconstructie plaatsvindt. In de prognoses is gerekend met de gemiddelde vloerveldversterking als functie van de frequentie (zie tabel 5=6). In tabel 6 wordt de overdracht van gebouw naar vloer voor twee vloertypen gegeven. Deze waarden zijn gebaseerd op door TNO ontwikkelde empirische formules en eigen meetervaring.

Tabel 6: Gemiddelde vloerveldversterking als functie van de frequentie.

Vloertype	Frequentie in Hz				
	4	8	16	32	63
Grote overspanning (3 - 5 Hz)	10	8	7	5	4
Kleine overspanning (12 Hz - 16 Hz)	4	8	10	7	5

Voor zware vloeren (tussen zone 1 en zone 3) met een kleine overspanning is bij ca. 4 Hz een versterking van ca. 4 dB (zie verdere randvoorwaarden) en na zone 3 is gerekend met vloeren met grote overspanning met een versterking van ca. 4-8 dB.

Cumulatie overdrachtsprognose:

De cumulatieve overdrachtsfactoren Hfv zijn gegeven in tabel 7.

Tabel 7: Cumulatieve overdrachtsfactoren Hfv per zone.

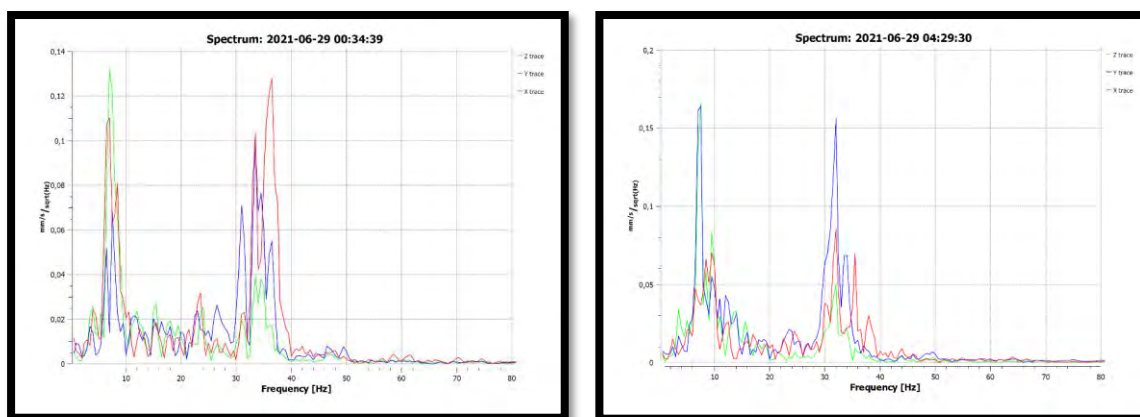
	Vanuit buitenste rails	Naam	Omschrijving
Hfv= 2,50	Na zone 4 op 76 meter	04Z	Woningen ten Zuiden afstand 76[m]
Hfv= 2,00	Na zone 3 op 67 meter	03Z	Woningen ten Zuiden afstand 67[m]
Hfv=1,28	Na zone 2 op 52 meter	02Z	Woningen ten Zuiden afstand 52[m]
Hfv=0,80	Na zone 1 op 37 meter	01Z	Woningen ten Zuiden afstand 37[m]
Hfv=0,80	Na zone 1 op 40 meter	01N	Woningen ten Noorden afstand 40[m]
Hfv=2,50	Na zone 4 op 105 meter	04N	Woningen ten Noorden afstand 105[m]
Hfv=1,28	Na zone 2 op 65 meter	02N	Woningen ten Noorden afstand 65[m]
Hfv= 2,00	Na zone 3 op 90 meter	03N	Woningen ten Noorden afstand 90[m]

4. RESULTATEN TRILLINGSHINDER EN PROGNOSE

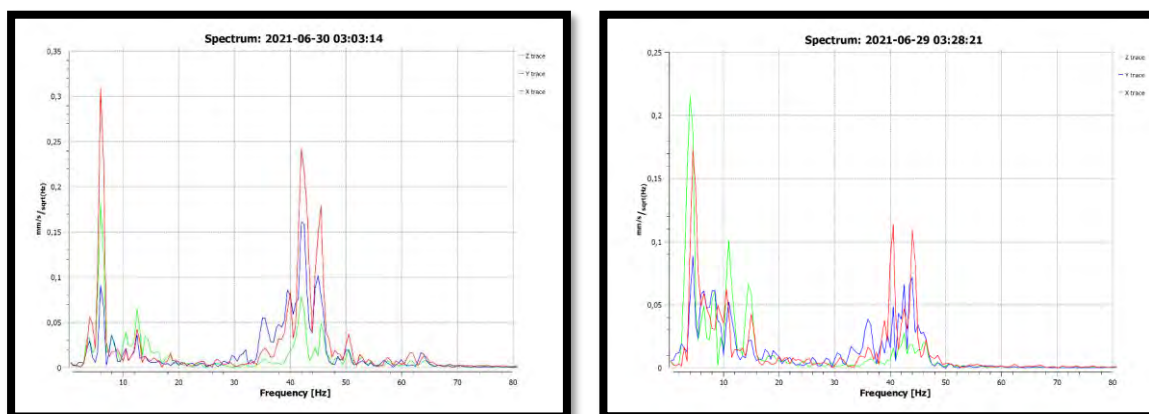
4.1. Meetresultaten

Gedurende de meetweek hebben stoortrillingen plaatsgevonden ten gevolge van o.a. de installatie en de-installatie van de instrumenten; deze zijn in de resultaten geïdentificeerd en geëlimineerd. De volledige meetgegevens op beide meetposities inclusief dominante frequenties, traces en spectra zijn in bijlage 1 opgenomen.

In figuren 7 t/m 8 zijn de spectra van de meeste relevante trillingen (hoogst laagfrequente opgetreden trillingsniveaus in de nachtperiode) vanwege railverkeer weergegeven, gemeten op meetpositie 1 en 2.



Figuur 7: Spectrum op meetpositie 1 van twee van de meeste relevante trillingsniveaus vanwege railverkeer (goederentrein), de gemeten snelheidswaarde wordt bepaald in het tijdsdomein.



Figuur 8: Spectrum op meetpositie 2 van twee van de meeste relevante trillingsniveaus vanwege railverkeer (goederentrein), de gemeten snelheidswaarde wordt bepaald in het tijdsdomein.

In tabel 8 zijn de hoogste meetwaarden voor de lage maatgevende frequenties gegeven, deze zijn ook maatgevend voor de prognoseberekeningen. Zie ook bijlage 1.

Tabel 8: Meetresultaten maatgevende voor de prognoseberekningen hinder; dag-, avond- en nachtperiode.

Meetpositie	Periode	Hoogst optredende meetwaarden van $V_{eff,max}$ [-]		
		z-richting	x-richting	y-richting
1 (15 meter afstand)	Dagperiode	0,18	0,32	0,47
	Avondperiode	0,20	0,32	0,47
	Nachtperiode	0,33	0,48	0,61
2 (25 meter afstand)	Dagperiode	0,33	0,41	0,32
	Avondperiode	0,29	0,41	0,32
	Nachtperiode	0,37	0,41	0,32

Op basis van de meetresultaten op positie 1 en 2 is de theoretische overdracht op basis van de empirische formule van Barkan bepaald en dus zijn de trillingsniveaus in de bodem ter plaatse van de woningen op verschillende afstanden van het spoor berekend opgedeeld in zones waarbinnen randvoorwaarden worden gesteld aan de te bouwen woningen om te kunnen voldoen aan de streefwaarden uit de SBR-B.

4.2. Nauwkeurigheidsmarge metingen

Opgemerkt dient te worden dat de metingen slechts een momentopname zijn. De trillingsniveaus zijn o.a. afhankelijk van de spoorruwheid van het spoor en de rondheid van de wiel (dus onderhoud), bodemcondities en waterstanden, temperatuur en natuurlijk het gebruik van het spoor, snelheid type materieel en aantal bakken en de verkeersintensiteit op het spoor. Variaties in deze parameters kunnen makkelijk de resultaten met 30% beïnvloeden.

Trillingen kunnen ook uitgedrukt worden in decibels. De referentiegrootte voor trillingssnelheid bedraagt $V_0 = 1 \text{ nm/s}$ (10^{-9}). In de praktijk kunnen de waarden afwijken van de meetresultaten, dit wordt uitgedrukt in een bepaalde onzekerheid. Voor de voorliggende metingen wordt deze onzekerheid ingeschat op $\pm 2 \text{ dB}$.

5. MOGELIJKE MAATREGELEN

Bij trillingen is er sprake van een trillingsbron (spoorweg), een medium (grond) dat de trillingen doorgeeft, en een ontvanger (personen in de gebouwen). Trillingsreducerende maatregelen kunnen zijn:

1. Bij de bron;
2. In het medium (bodem);
3. Bij de ontvanger.

Een indicatief overzicht van de mogelijke maatregelen voor nieuwbouw - inclusief kostprijs indicatie - is in tabel 10.4 van de "Handreiking Nieuwbouw en Spoortrillingen" te vinden (tabel 9).

Tabel 9: Overzicht van de mogelijke maatregelen voor nieuwbouw, tabel 10.4 van de "Handreiking Nieuwbouw en Spoortrillingen".

Maatregel	Wanneer reducerend effect?	Indicatie kostprijs*
aanpassen vloeren: dikte en/of overspanning	afhankelijk van de vloerafmetingen: opslingering voorkomen	+
paalfundering toepassen	overdracht van trillingen bodem naar fundering reduceren	++
wijzigen bouw materiaal	massa en stijfheid toevoegen: verlaagt responsie van gebouw op trillingen (soms kan ook extra demping worden gerealiseerd)	+ / ++
fundering inpakken (bijv. EPS blokken aan buitenzijde fundering)	voor hogere frequenties: trillingen worden niet of minder overgedragen van bodem naar fundering	+
fundering verzwaren en verstijven	voor hogere frequenties: trillingen worden niet of minder overgedragen van bodem naar fundering	+ / ++
afveren gebouw (trillingsisolerende blokken tussen fundering en bovenbouw) elastische blokken of stalen veren mogelijk	vermindering overdracht trillingen tussen fundering en bovenbouw: Effectief tot lage frequenties (circa 2 à 3 Hz is mogelijk)	++
vloeren loskoppelen van rest van constructie	vermindering overdracht trillingen van gebouwconstructie naar vloeren, wordt soms toegepast bij zware grote vloeren. Wordt bijvoorbeeld bij bioscopen en dergelijke toegepast	+
verstijvende elementen aanbrengen (bijvoorbeeld bij staalbouw extra muurelementen -> sterk afhankelijk van het gebouwontwerp)	vermindering overdracht trillingen vanuit bodem naar gebouw door verhoogde stijfheid van constructie.	+ / ++
locatiekeuze gebouw	afstand tussen gebouw en spoor verhogen, locaties nabij wissels, ES-lassen en kunstwerkovergangen zoveel mogelijk vermijden	0

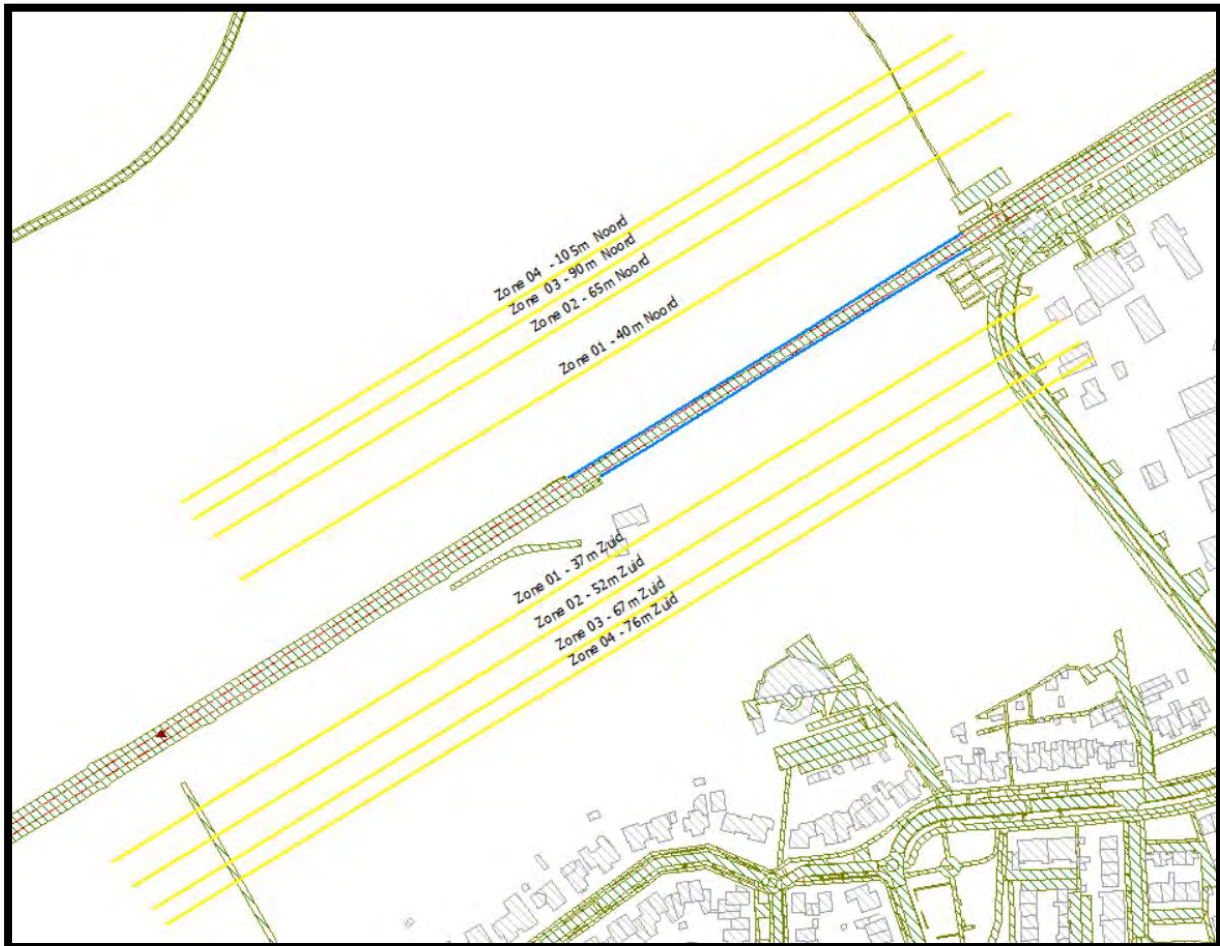
* 0 is nauwelijks extra kosten, + is beperkte extra kosten, ++ is behoorlijke extra kosten

Uit eerder onderzoek van ons bureau rapport 2006006608-20211654h-2 is gebleken dat in deze situatie maatregelen in het overdrachtsgebied geen soelaas bieden om de trillingen in de bodem te dempen.

6. PROGNOSES NA MAATREGELEN AAN DE WONINGEN

6.1. Hinder zones

Voor het plangebied zijn zones berekend waarbinnen voor het beperken van trillingen randvoorwaarde zijn gesteld, waarbij verwacht wordt dat aan de streefwaarden uit de SBR-B zal kunnen worden voldaan. De berekende zones zijn gegeven in onderstaande figuur.



Figuur 9 : Berekende hinderzones op het vloerveld in de woningen uitgaande van de cumulatieve overdrachtsfactoren zijn gegeven in tabel 7.

De resulterende trillingsniveaus zijn gegeven in tabel 10.

Tabel 10: Geprognosticeerde trillingsniveaus op zonegrens in de woning uitgaande van de gestelde randvoorwaarden en cumulatieve overdrachtsfactoren uit tabel 7.

		Prognose resultaat op de vloer							
		Dag		Avond		Nacht			
		Vmax		Vmax		Vmax			
Naam	Omschrijving					A1/A2 Norm	A1/A2 Norm	Vper Norm	A3 Norm
04Z	Woningen ten Zuiden afstand 76[m]	X= 0,10@8Hz Y= 0,15@8Hz Z= 0,06@8Hz	X= 0,10@8Hz Y= 0,15@8Hz Z= 0,07@8Hz	X= 0,10@8Hz Y= 0,15@8Hz Z= 0,07@8Hz	0,1/0,4	X= 0,16@8Hz Y= 0,20@8Hz Z= 0,11@8Hz	0,1/0,2	0,01	0,05
03Z	Woningen ten Zuiden afstand 67[m]	X= 0,11@8Hz Y= 0,16@8Hz Z= 0,06@8Hz	X= 0,11@8Hz Y= 0,16@8Hz Z= 0,07@8Hz	X= 0,11@8Hz Y= 0,16@8Hz Z= 0,07@8Hz	0,1/0,4	X= 0,16@8Hz Y= 0,20@8Hz Z= 0,11@8Hz	0,1/0,2	0,01	0,05
02Z	Woningen ten Zuiden afstand 52[m]	X= 0,10@8Hz Y= 0,15@8Hz Z= 0,06@8Hz	X= 0,10@8Hz Y= 0,15@8Hz Z= 0,07@8Hz	X= 0,10@8Hz Y= 0,15@8Hz Z= 0,07@8Hz	0,1/0,4	X= 0,16@8Hz Y= 0,20@8Hz Z= 0,11@8Hz	0,1/0,2	0,01	0,05
01Z	Woningen ten Zuiden afstand 37[m]	X= 0,10@8Hz Y= 0,15@8Hz Z= 0,06@8Hz	X= 0,10@8Hz Y= 0,15@8Hz Z= 0,07@8Hz	X= 0,10@8Hz Y= 0,15@8Hz Z= 0,07@8Hz	0,1/0,4	X= 0,16@8Hz Y= 0,20@8Hz Z= 0,11@8Hz	0,1/0,2	0,01	0,05
01N	Woningen ten Noorden afstand 40[m]	X= 0,19@8Hz Y= 0,15@8Hz Z= 0,18@4Hz	X= 0,19@32Hz Y= 0,15@32Hz Z= 0,16@4Hz	X= 0,19@32Hz Y= 0,15@32Hz Z= 0,16@4Hz	0,1/0,4	X= 0,19@8Hz Y= 0,15@8Hz Z= 0,20@4Hz	0,1/0,2	0,02	0,05
04N	Woningen ten Noorden afstand 105[m]	X= 0,10@8Hz Y= 0,08@8Hz Z= 0,18@4Hz	X= 0,10@32Hz Y= 0,08@32Hz Z= 0,16@4Hz	X= 0,10@32Hz Y= 0,08@32Hz Z= 0,16@4Hz	0,1/0,4	X= 0,10@8Hz Y= 0,08@8Hz Z= 0,20@4Hz	0,1/0,2	0,02	0,05
02N	Woningen ten Noorden afstand 65[m]	X= 0,15@8Hz Y= 0,11@8Hz Z= 0,18@4Hz	X= 0,15@32Hz Y= 0,11@32Hz Z= 0,15@4Hz	X= 0,15@32Hz Y= 0,11@32Hz Z= 0,15@4Hz	0,1/0,4	X= 0,15@8Hz Y= 0,11@8Hz Z= 0,20@4Hz	0,1/0,2	0,02	0,05
03N	Woningen ten Noorden afstand 90[m]	X= 0,12@8Hz Y= 0,12@8Hz Z= 0,09@4Hz	X= 0,12@32Hz Y= 0,09@32Hz Z= 0,16@4Hz	X= 0,12@32Hz Y= 0,09@32Hz Z= 0,16@4Hz	0,1/0,4	X= 0,12@8Hz Y= 0,09@8Hz Z= 0,20@4Hz	0,1/0,2	0,02	0,05

Uit tabel 10 blijkt dat verwacht wordt dat aan streefwaarden uit de SBR-B kan worden voldaan uitgaande van de gestelde randvoorwaarden voor het bouwen binnen de zones. De uiteindelijk trillingsniveaus in de woningen kunnen pas geprognosticeerd worden als de definitieve bouwvormen en materialisatie van de woningen bekend is.

De genoemde afstanden zijn bepaald vanuit de buitenste spoorrails.

6.2. Vloer resonanties

In het plangebied is het van belang dat de vloeren in de gebouwen de trillingen t.g.v. het spoor niet gaan versterken doordat deze vloeren worden aangestoten in hun eigenfrequentie. De gemeten dominante frequenties die in de bodem optreden t.g.v. het spoor staan vermeld in tabel 10. Hoe meer de eigenfrequentie van een vloer in de buurt komt van deze frequenties hoe sterker de vloer wil gaan meetrillen waardoor er een versterking van de trillingen optreedt (vloer resonantie).

Geadviseerd wordt om binnen de trillingszones tot een afstand van 90 meter in noordelijke richting en 67 meter in zuidelijke richting te zorgen dat de eigenfrequenties van de vloeren groter is dan > 20 Hz. Op grotere afstand > 15Hz. Een indicatie van de eigen frequentie van vloeren is gegevens in onderstaande tabel 11.

Tabel 11: Eigenfrequenties vloeren

Indicatieve tabel eigenfrequenties diverse vloerconstructies					
Eigenfrequentie vlgns Hicks	Breedplaatvloer 200 mm beton	Breedplaatvloer 300 mm beton	Breedplaatvloer 400 mm beton	Breedplaatvloer 500 mm beton	Breedplaatvloer 600 mm beton
	90mm zand+cement	90mm zand+cement	90mm zand+cement	90mm zand+cement	90mm zand+cement
Overspanning	Scharnierend	Scharnierend	Scharnierend	Scharnierend	Scharnierend
5	13,85	20,78	27,71	34,64	41,56
7	7,07	10,6	14,14	17,67	21,71
9	4,28	6,41	8,55	10,69	12,83
Eigenfrequentie vlgns Hicks	Tunnelbouw o.v. 200 mm beton	Tunnelbouw o.v. 300 mm beton	Tunnelbouw o.v. 400 mm beton	Tunnelbouw o.v. 500 mm beton	Tunnelbouw o.v. 600 mm beton
	90mm zand+cement	90mm zand+cement	90mm zand+cement	90mm zand+cement	90mm zand+cement
Overspanning	Ingeklemd	Ingeklemd	Ingeklemd	Ingeklemd	Ingeklemd
5	31,44	47,16	62,88	78,6	94,33
7	16,04	24,06	32,08	40,1	48,13
9	9,7	14,56	19,41	24,26	29,11
Eigenfrequentie vlgns Hicks	Holle Kanaalplaat h=360mm 200+90mm afwerkvloer	Holle Kanaalplaat h=420mm 260+90mm afwerkvloer	Holle Kanaalplaat h=480mm 320+90mm afwerkvloer	Holle Kanaalplaat h=560mm 400+90mm afwerkvloer	
	Druklaag 70mm	Druklaag 70mm	Druklaag 70mm	Druklaag 70mm	
Overspanning	Scharnierend	Scharnierend	Scharnierend	Scharnierend	
5	16,46	21,4	26,34	32,92	
7	8,4	10,92	13,44	16,8	
9	5,08	6,6	8,13	10,16	
	Niet mogelijk				
	(Wellicht) mogelijk berekenen bij bouwaanvraag				

Ingeklemden vloeren hebben een hogere eigenfrequentie dan scharnierend opgelegde vloeren.

7. RANDVOORWAARDEN BOUWEN VAN WONINGEN

6.1. Zone 0

Geadviseerd wordt om in het gebied tussen het spoor en zone 1 (afstand noordzijde 40 meter en zuidzijde 37 meter) niet te bebouwen.

6.2. Zone 1

Zone 1 is het gebied tussen zone 1 en zone 2.
Noordzijde gebied tussen 40 meter tot 65 meter vanuit het spoor
Zuidzijde gebied tussen 37 meter tot 52 meter vanuit het spoor

1. Op betonpalen gefundeerd.
2. Fundering bij voorkeur ingepakt in EPS100 met een dikte van ca. 300 mm (verloren bekisting).
3. Zware gebouwen (bijvoorbeeld beton tunnelbouw) met meer dan 4 bouwlagen met bijbehorende zware betonfundering.
4. Zware dikke betonvloeren bij voorkeur ingeklemd, zoals tunnelbouw vloeren met een 1^e eigenfrequentie > 20 Hz. Geen holle kanaalplaat vloeren.
5. Korte overspanning afhankelijk van inklemming en vloerdikte (zie tabel 11 ter indicatie van dikte). Bij voorkeur ingeklemde massieve betonvloeren.
6. Bij voorkeur langs richting van de bouwwerken loodrecht op het spoor of anders zorgen voor dragende massieve wanden in twee richtingen (loodrecht op het spoor en evenwijdig aan het spoor) met verzwaarde gevelbalk.
7. Gevels massief uitvoeren, dus geen HSB of vliesgevels.

6.3. Zone 2

Zone 2 is het gebied tussen zone 2 en zone 3.
Noordzijde gebied tussen 65 meter tot 90 meter vanuit het spoor
Zuidzijde gebied tussen 52 meter tot 76 meter vanuit het spoor

1. Op betonpalen gefundeerd.
2. Fundering bij voorkeur ingepakt in EPS100 met een dikte van ca. 300 mm (verloren bekisting).
3. Grondgebonden woningen (of zwaarder) bijvoorbeeld 2 bouwlagen + kap met verzwaarde betonfundering.
4. Massieve betonvloeren zoals bijvoorbeeld breedplaatvloeren met een 1^e eigenfrequentie > 20 Hz. Zie tabel 11 ter indicatie van dikte.
5. Korte overspanning afhankelijk van inklemming en vloerdikte (zie tabel 11 ter indicatie).
6. Dragende wanden massief uitvoeren.
7. Gevels bij voorkeur massief uitvoeren, maar HSB-gevels zijn mogelijk in combinatie met zware vloeren.

6.4. Zone 3

Zone 3 is het gebied tussen zone 3 en zone 4.
Noordzijde gebied tussen 90 meter tot 105 meter vanuit het spoor
Zuidzijde gebied tussen 67 meter tot 76 meter vanuit het spoor

1. Op palen gefundeerd.
2. Grondgebonden woningen (of zwaarder) bijvoorbeeld 2 bouwlagen + kap.
3. Streven naar vloeren met een 1^e eigenfrequentie > 15 Hz. Zie tabel 11 ter indicatie van dikte.
4. Overspanning afhankelijk van inklemming en vloerdikte (zie tabel 11 ter indicatie).
5. Dragende wanden massief uitvoeren.

6.5. Zone 4

Zone 4 is het gebied na zone 4
Noordzijde gebied tussen 105 meter tot 120 meter vanuit het spoor
Zuidzijde gebied tussen 76 meter tot 80 meter vanuit het spoor

1. Bij voorkeur op palen gefundeerd.

6.6. Zone 5

Zone 5 is het gebied na zone 4
Noordzijde gebied vanaf het spoor > 120 meter
Zuidzijde gebied vanaf het spoor > 80 meter.

1. Geen bijzonder eisen t.a.v. trillingen van het spoor

6.7. Nauwkeurigheidsmarge berekeningen

Trillingen kunnen ook uitgedrukt worden in decibels. De referentiegrootte voor trillingssnelheid bedraagt $V_0 = 1 \text{ nm/s}$ (10^{-9}). In de praktijk kunnen de waarden afwijken van de berekende resultaten, dit wordt uitgedrukt in een bepaalde onzekerheid. Voor de voorliggende prognose berekeningen wordt deze onzekerheid ingeschat op $\pm 2 \text{ dB}$.

Van de bodem (en dus ook de fundering van het spoor) en het gebouw zijn de eigenschappen niet nauwkeurig bekend. Een zandlaag kan in verschillende periodes afgezet zijn, waardoor de stijfheid niet overal dezelfde is. In gebouwen geldt iets vergelijkbaars. Stijfheid van een gebouw kan in de tijd wijzigen, door bijvoorbeeld microscheuren, verbouwingen, zettingen van de fundering. Ten slotte moet nog aandacht worden besteed aan het ketengedrag van het systeem (spoor, grond, gebouw): In een berekening van dit systeem kan in elke stap een afwijking van de werkelijkheid optreden. Deze kleine afwijkingen kunnen later relatief grote gevolgen hebben als deze elkaar in de keten versterken.

De gerapporteerde rekenonzekerheid is gebaseerd op een standaardonzekerheid, vermenigvuldigd met een dekkingsfactor $k = 2$, welke overeenkomt met een betrouwbaarheidsinterval van ongeveer 95%.

6.8. Disclaimer

De uiteindelijk te treffen maatregelen en de uiteindelijke trillingsniveaus in de woningen kunnen pas geprognosticeerd worden als de definitieve bouwvormen en materialisatie van de woningen bekend is. In het kader van de bouwaanvraag zal derhalve in detail gekeken moet worden door een deskundige of streefwaarden inderdaad gehaald worden.

7. CONCLUSIES

Uit de resultaten van het voorliggend onderzoek inzake hinder voor personen in gebouwen vanwege spoortrillingen kan het volgende worden geconcludeerd.

- De geprognosticeerde “hinderzone” ligt op 80 meter ten zuiden en 120 meter ten noorden van het spoor. Binnen deze zone wordt - zonder aanvullende maatregelen - ten minste matige trillingshinder geprognosticeerd vanwege railverkeer.
- Maatregelen in het overdachtsgebied (water of grondschermbank) tussen het spoor en de woningen bieden geen soelaas.
- Maatregelen aan de woningen binnen deze zone zijn derhalve aangewezen. Binnen de voornoemd gebied zijn een aantal zones gedefinieerd. Binnen deze zones zijn randvoorwaarden gedefinieerd waarmee het de verwachting is dat - als deze randvoorwaarden in acht worden genomen - er voldaan zal kunnen worden aan de streefwaarde uit de SBR-richtlijn B.
- Ten aanzien van de meetonzekerheid wordt verwezen naar hoofdstuk 4.2 en ten aanzien van de rekenonzekerheid naar hoofdstuk 6.7.

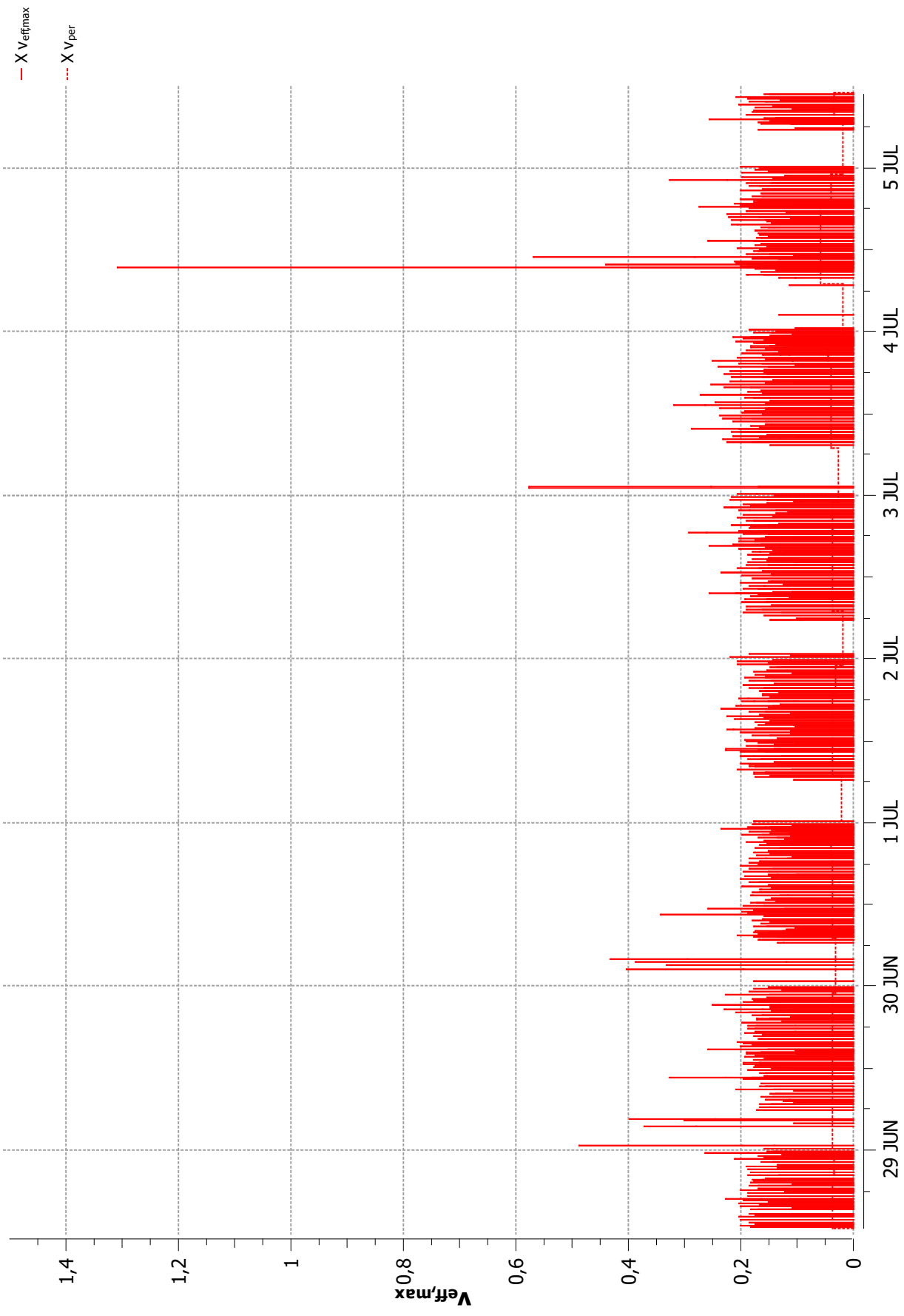
AV-CONSULTING B.V.

Raadgevende ingenieurs

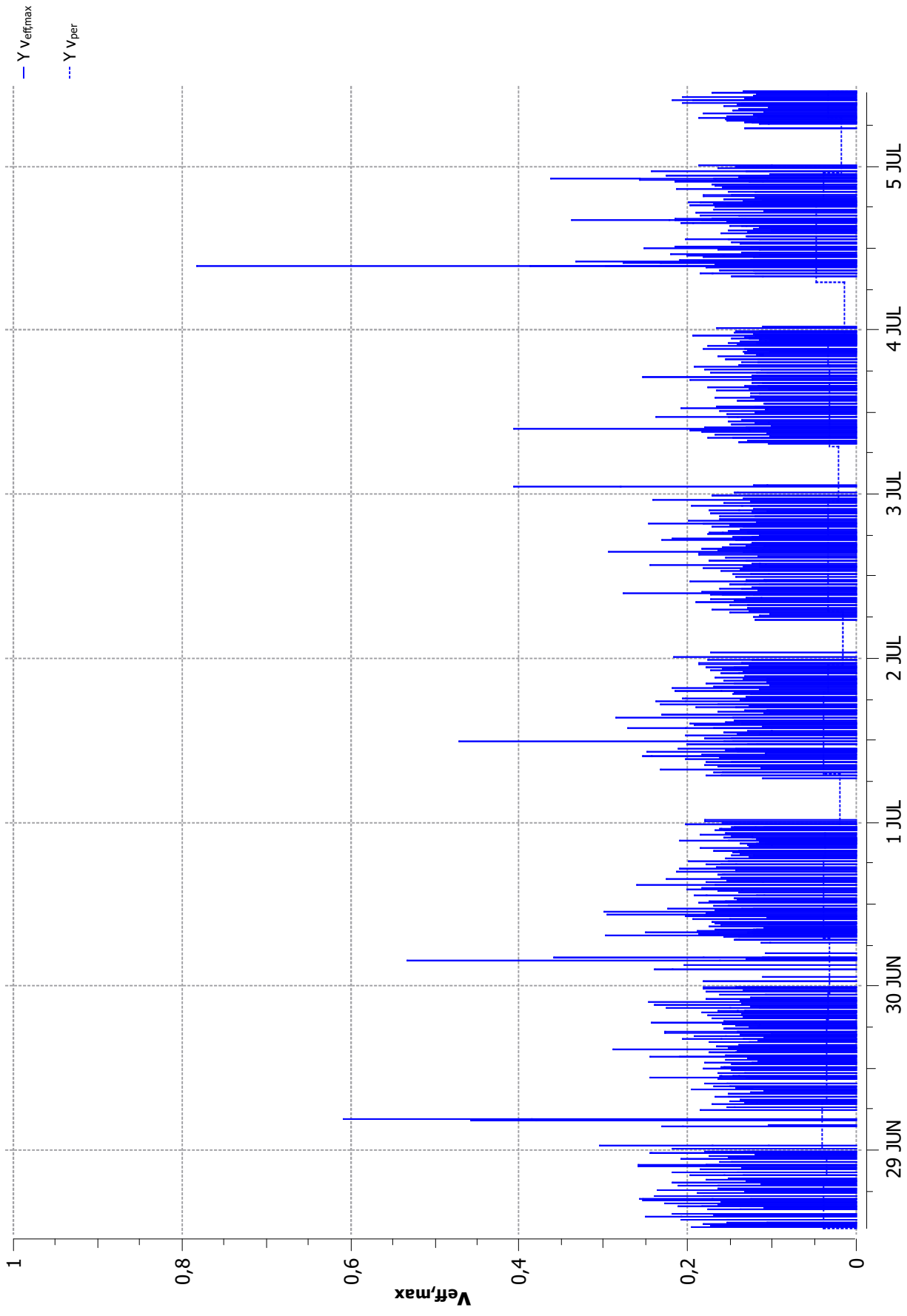
BIJLAGE 1: MEETRESULTATEN

- 1A: $V_{eff,max,30}$; V_{per} x-richting meetweek meetpositie 1
- 1B: $V_{eff,max,30}$; V_{per} y-richting meetweek meetpositie 1
- 1C: $V_{eff,max,30}$; V_{per} z-richting meetweek meetpositie 1
- 1D: $V_{eff,max,30}$; V_{per} x-richting meetweek meetpositie 2
- 1E: $V_{eff,max,30}$; V_{per} y-richting meetweek meetpositie 2
- 1F: $V_{eff,max,30}$; V_{per} z-richting meetweek meetpositie 2
- 1G: $V_{eff,max,30}$; V_{per} x-richting meetweek meetpositie 3
- 1H: $V_{eff,max,30}$; V_{per} y-richting meetweek meetpositie 3
- 1I: $V_{eff,max,30}$; V_{per} z-richting meetweek meetpositie 3
- 1J: Frequentie meetpositie 1
- 1K: Frequentie meetpositie 2
- 1L: Frequentie meetpositie 3
- 1M: Traces van hoogste trillingsniveaus meetpositie 1
- 1N: Spectrum van hoogste trillingsniveaus meetpositie 1
- 1O: Traces van hoogste trillingsniveaus meetpositie 2
- 1P: Spectrum van hoogste trillingsniveaus meetpositie 2
- 1Q: Traces van hoogste trillingsniveaus meetpositie 3
- 1R: Spectrum van hoogste trillingsniveaus meetpositie 3

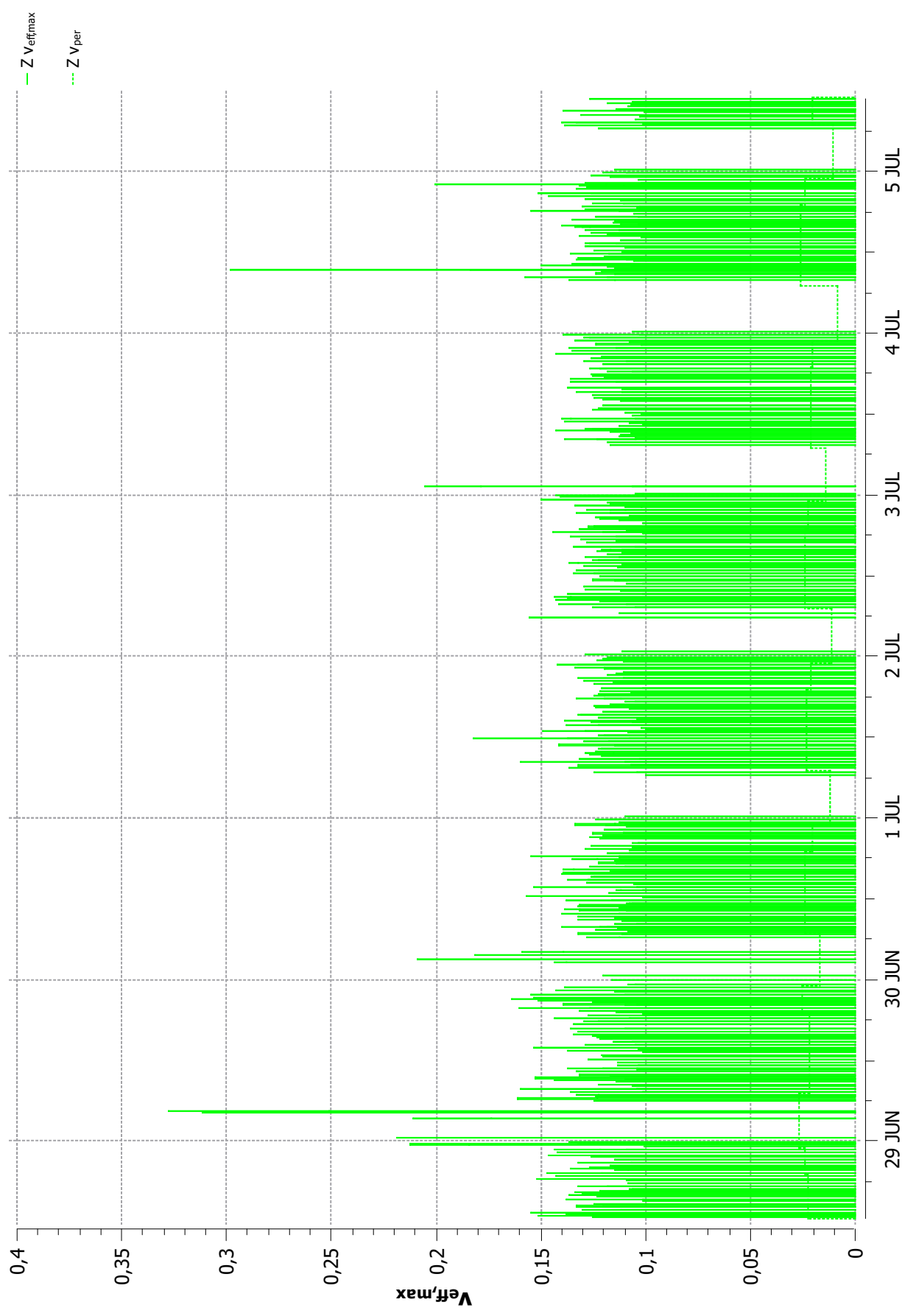
VIB00098 Ravenstein 1 2021-06-28



VIB00098 Ravenstein 1 2021-06-28



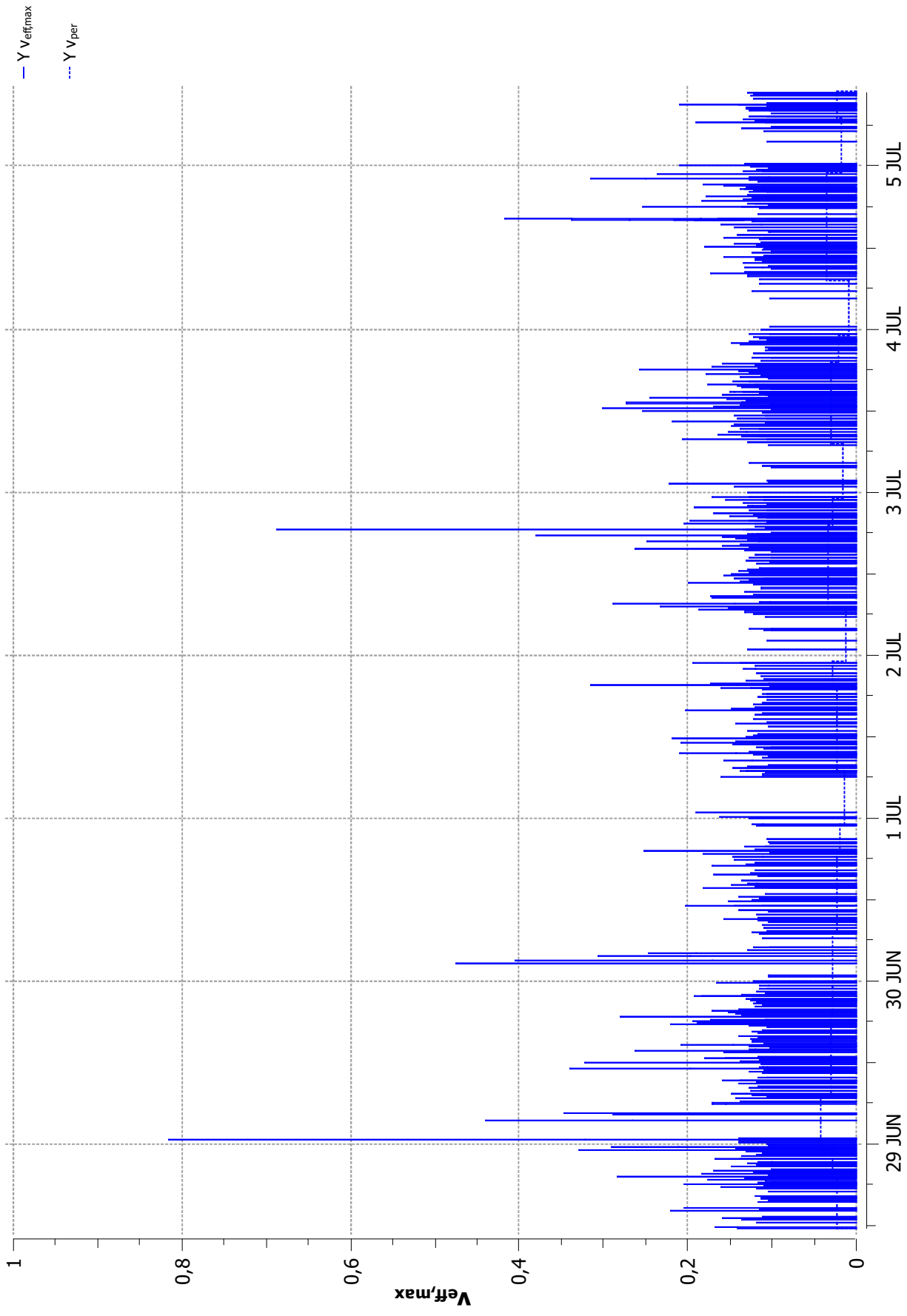
VIB00098 Ravenstein 1 2021-06-28



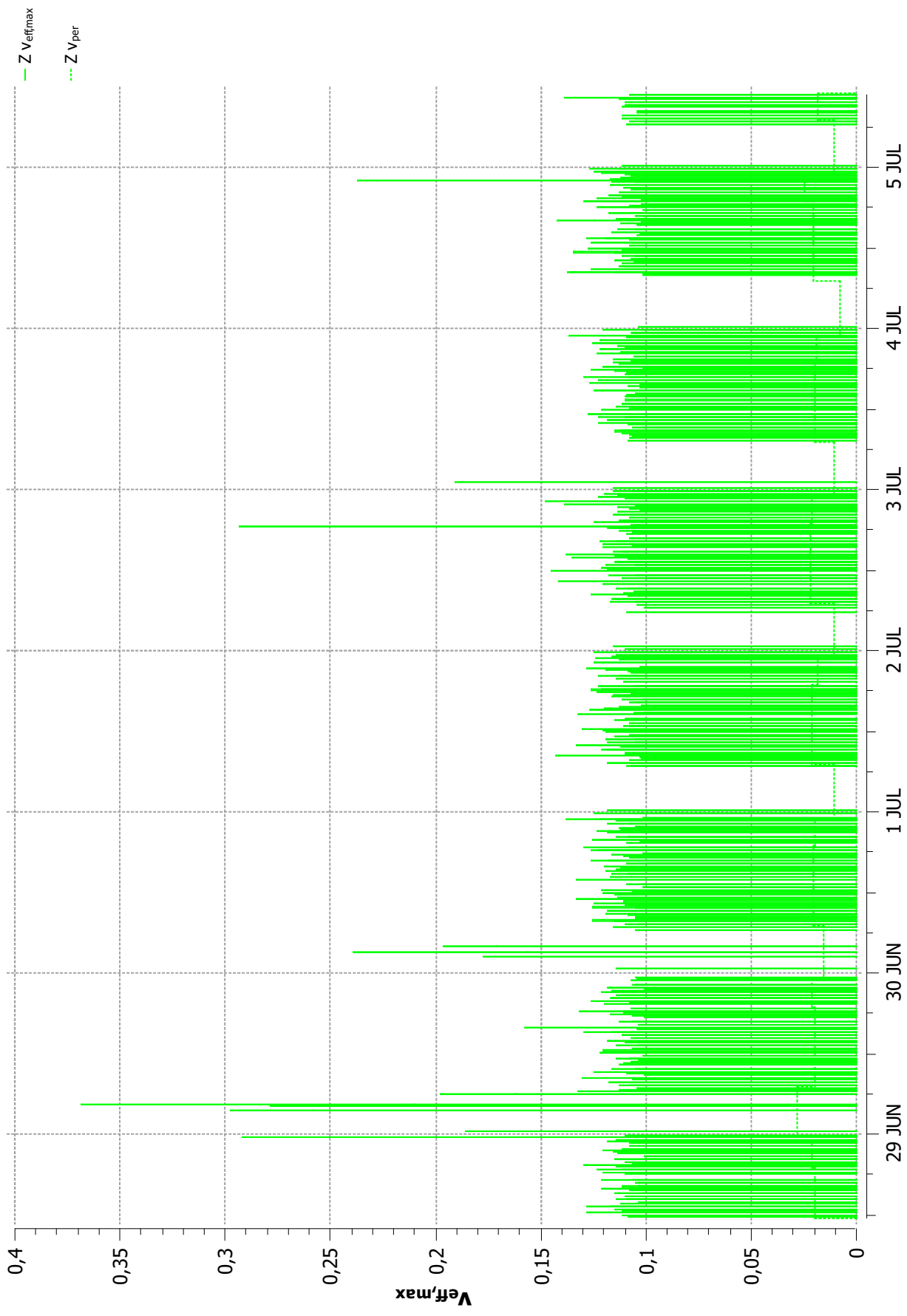
VIB00094 Ravenstein 2 2021-06-28



VIB00094 Ravenstein 2 2021-06-28



VIB00094 Ravenstein 2 2021-06-28



Revision 3

User ID

AHFOA2aBQ3@hewlett

SN

06-18-18
06/09/2021

Last Calibration

Open File

18 h Day_Evening
21 h Evening_Night
7 h Night_Day

SRR 0

Standard

Dwelling

Applicability

Count/Qt = 3 months

Type

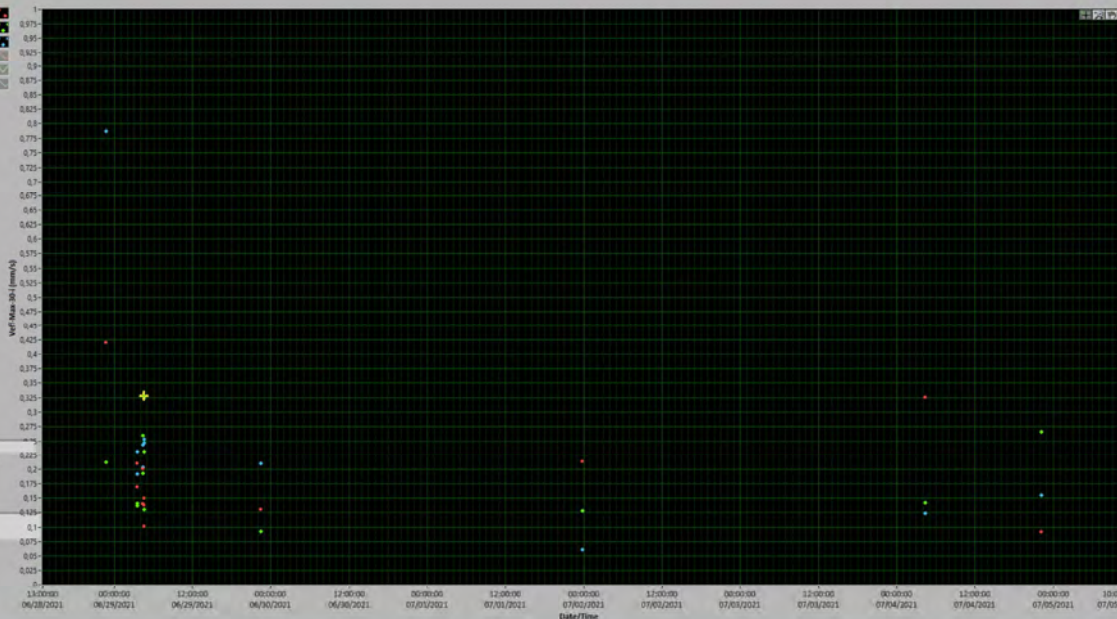
Normal

Status

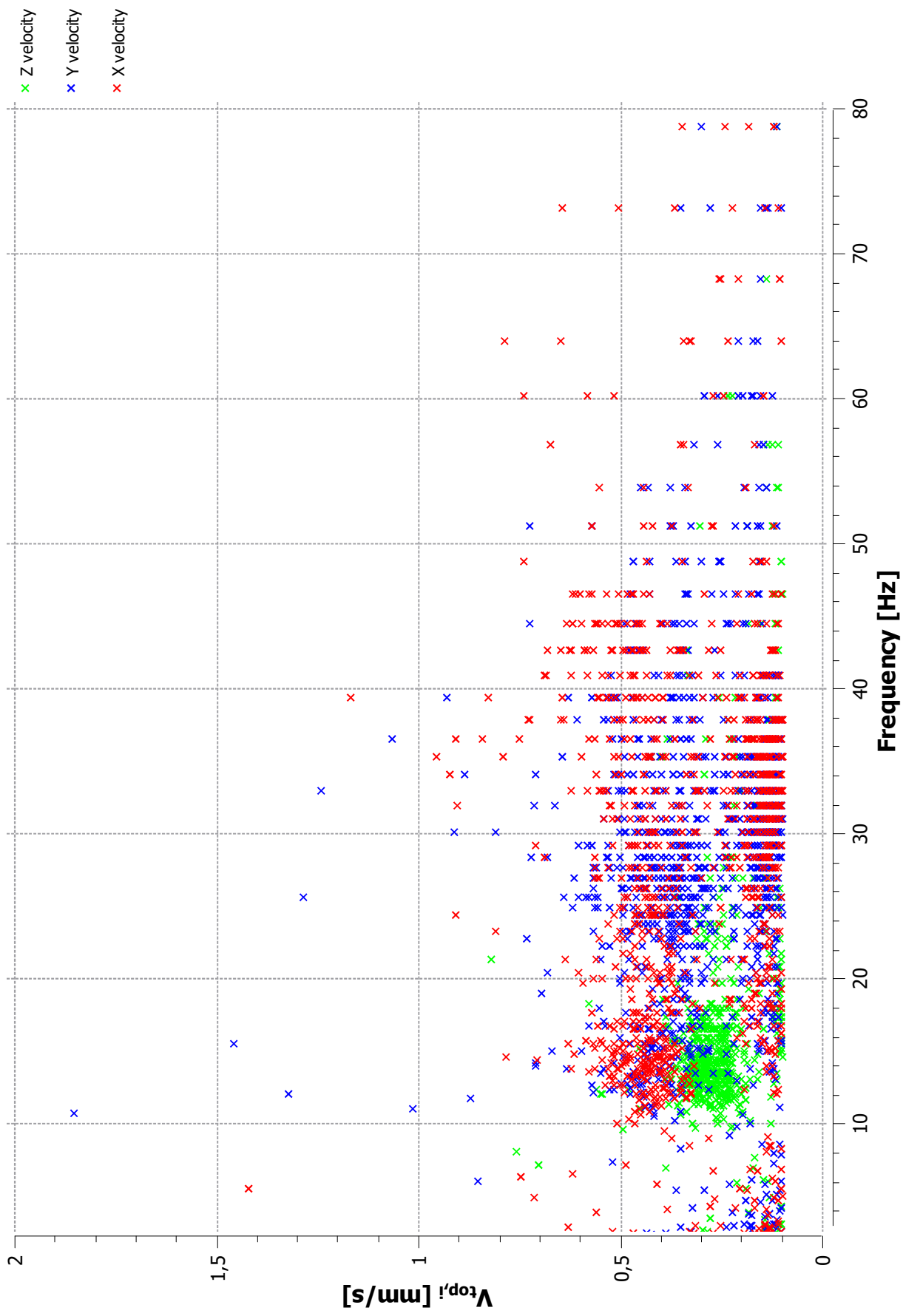
VSEW_m42 recommended configuration
- Signal Rate Acceleration to Velocity X, Y, Z
- Sampling Frequency = 500 Hz
- Highpass cutoff: 1 Hz
- Autotrac mode with 30 s min quiet time

Summary Scatter Plot Time Spectral Pass/Fail

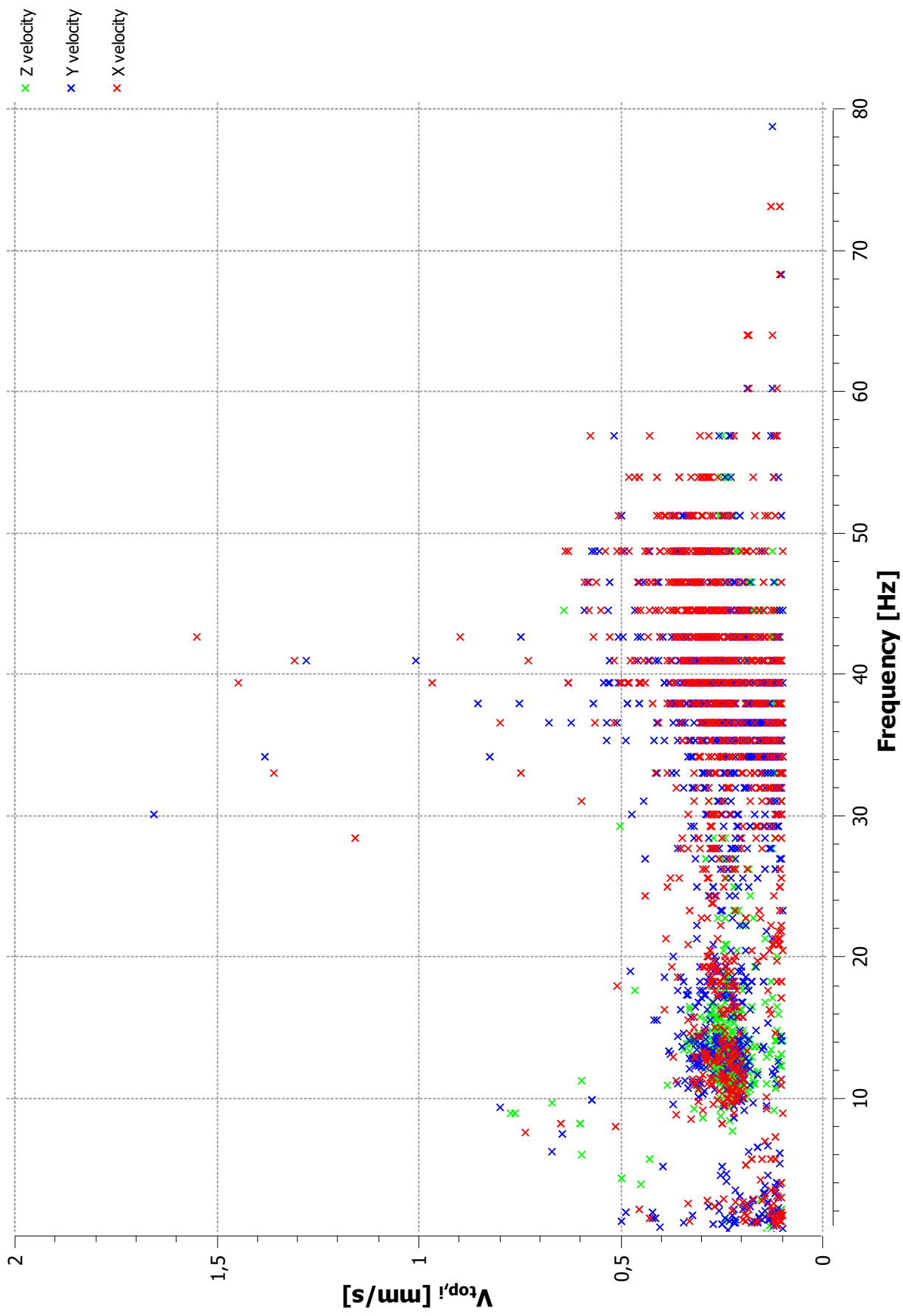
VelX
VelY
VelZ
VperX
VperY
VperZ



VIB00098 Ravenstein 1 2021-06-28



VIB00094 Ravenstein 2 2021-06-28



Lawrence J

Item ID

APFON2p802@HwL2b0

SN

00-10-18
06/09/2021

Last Calibration

Open File

18 N_Day_Evening
22 N_Evening_Night
7 N_Night_Day

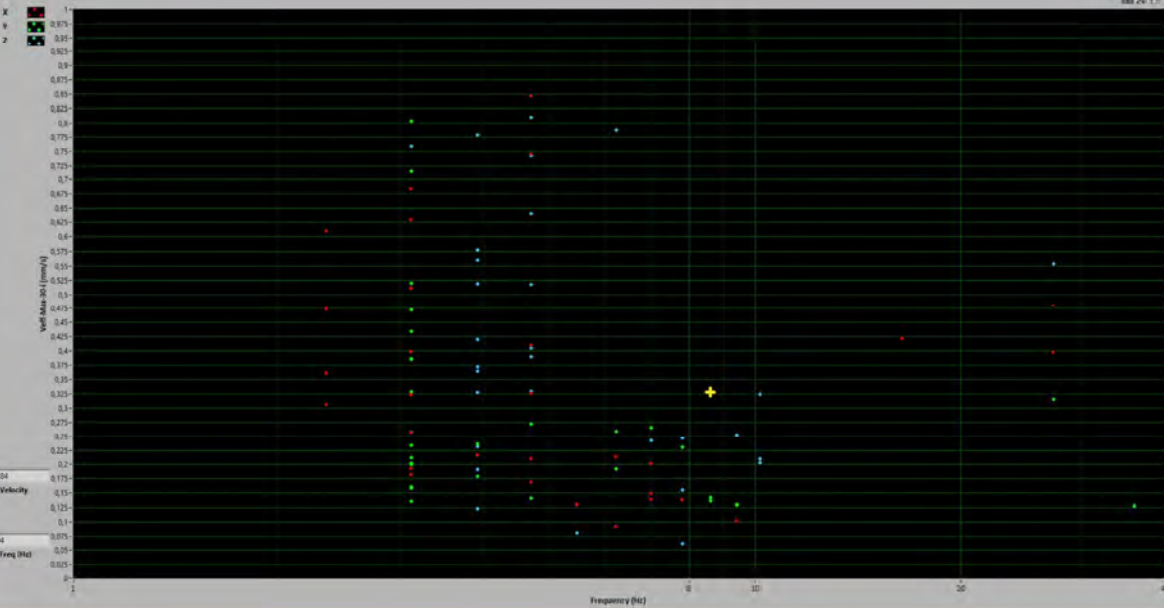
SRR-B Standard

DwellTime Applicability

Cont/Epst = 3 months Term

Normal Status

Summary Scatter Plot Wave Spectral Fast/Fall



0.3204

Cursor Velocity

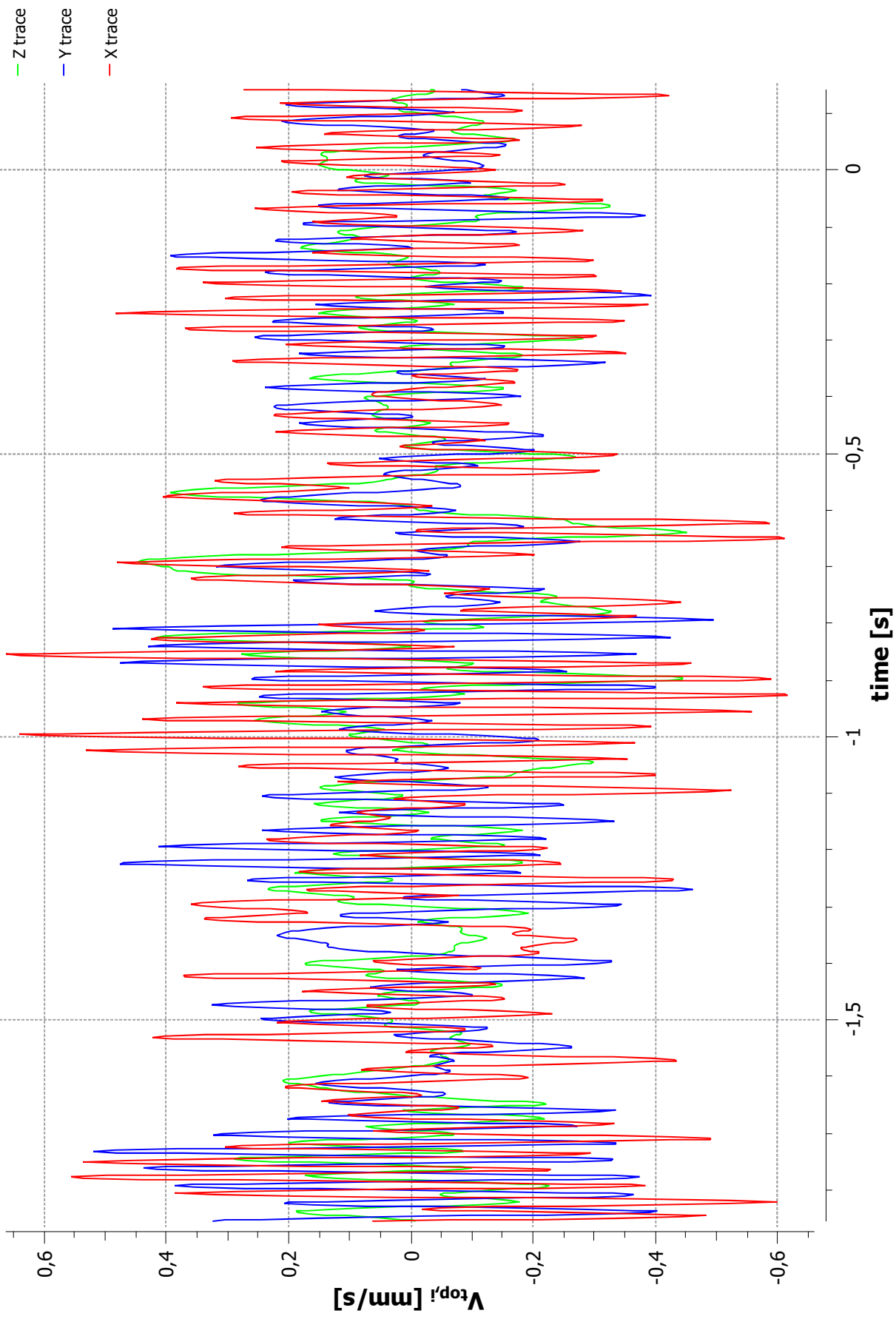
8.594

Cursor Freq (Hz)

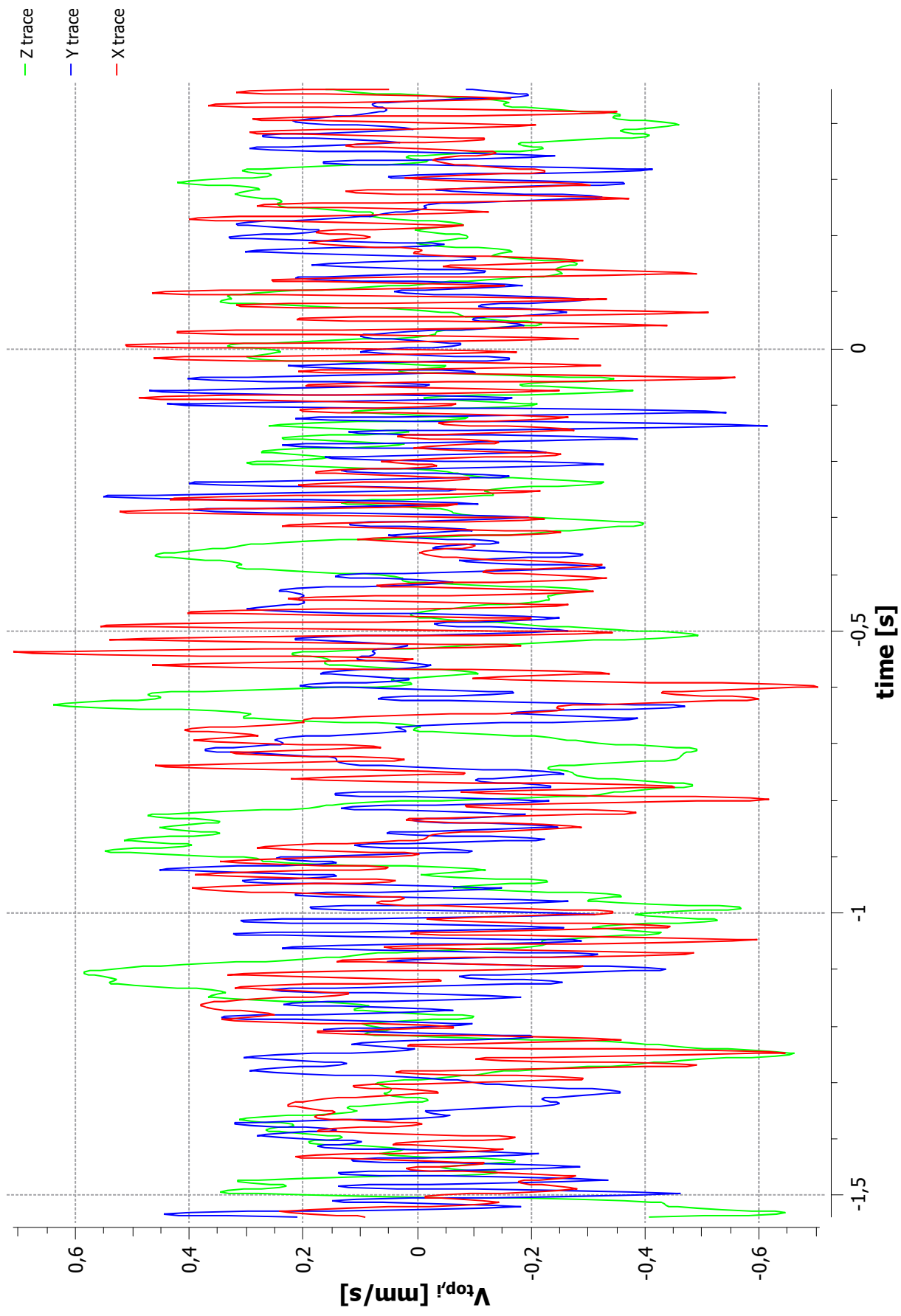
VSEW_m42 recommended configuration:

- Signal Res Acceleration to Velocity X, Y, Z
- Sampling Frequency >= 500 Hz
- Highpass cutoff: 1 Hz
- autoOff: mode with 30 s min quiet time.

Velocity Trace: 2021-06-29 00:34:39



Velocity Trace: 2021-06-29 03:28:21



Revision 3

User ID

A:\PDA\ZADK3\NewL2HO

SM

08-10-18
06/09/2021

Last Calibration

Open File

18 h Day_Evening
22 h Evening_Night
7 h Night_Day

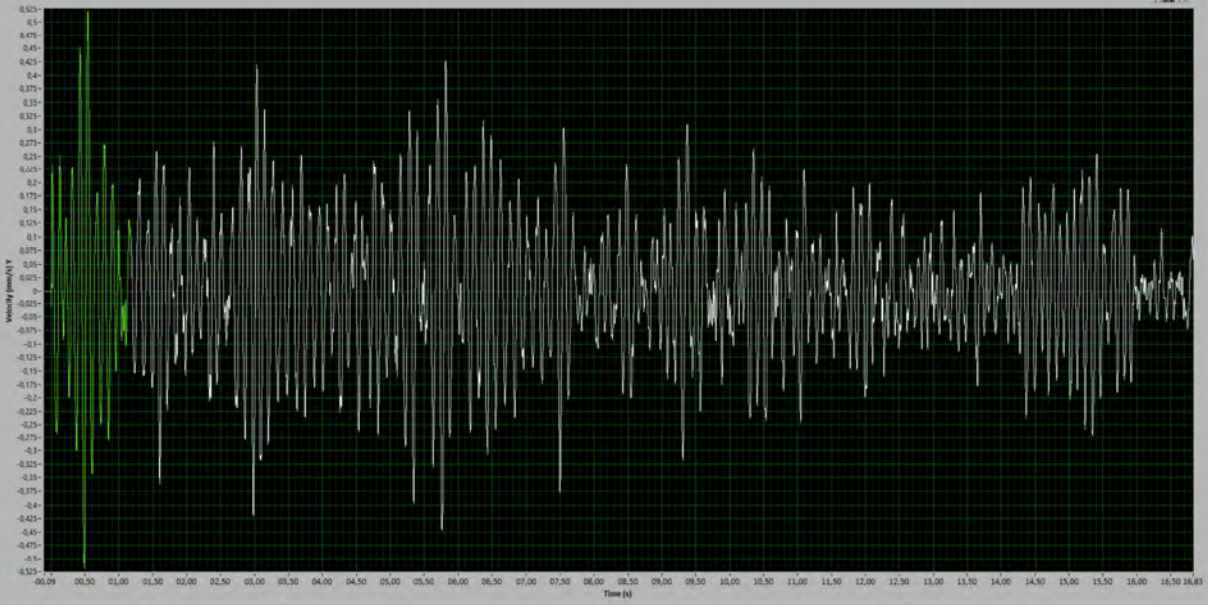
S80-0 Standard

Dwelling Applicability

Cont/Op = 3 months Type

Normal Status

Summary Scatter Plot Time Spectral Pass/Fail



VSEW_m82 recommended configuration

- Signal: Raw Acceleration or Velocity X, Y, Z
- Sampling Frequency: $f_s = 500$ Hz
- Highpass cutoff: 1 Hz
- Autotrac mode with 30 s min quiet time

Ravenstein 3

User ID

A41016246K23P10001.ZND

SN

09:15:18
04/09/2021

Last Calibration

Open File

17 h Day, Evening
23 h Evening, Night
7 h Night, Day

SR0-0

Standard

Dwelling

Applicability

Count/Spot = 3 months

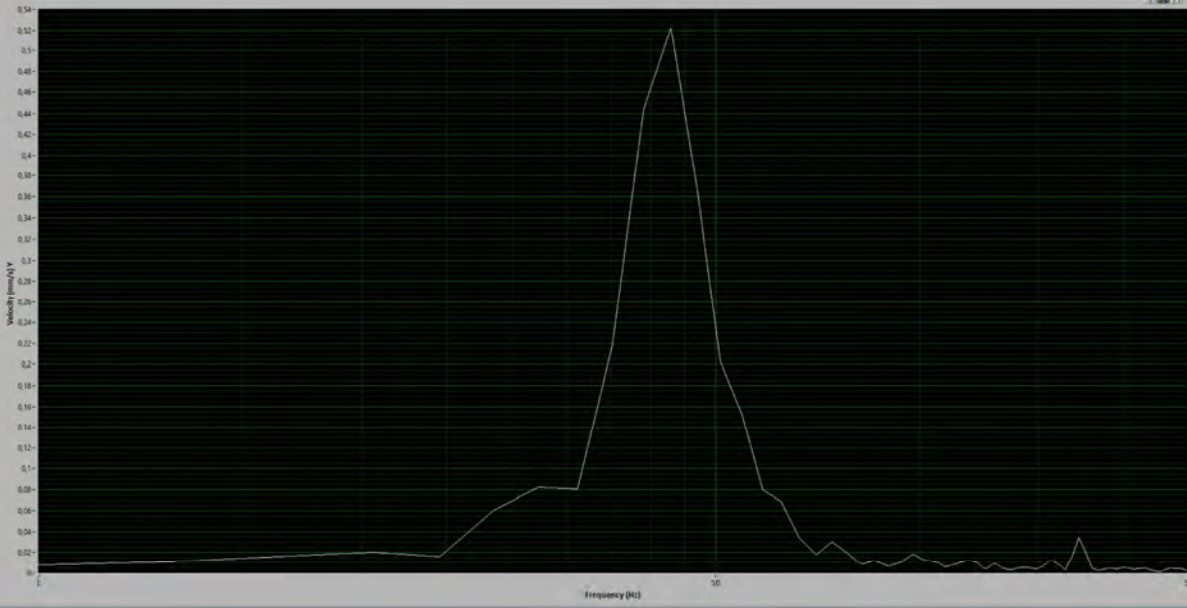
Type

Normal

Status

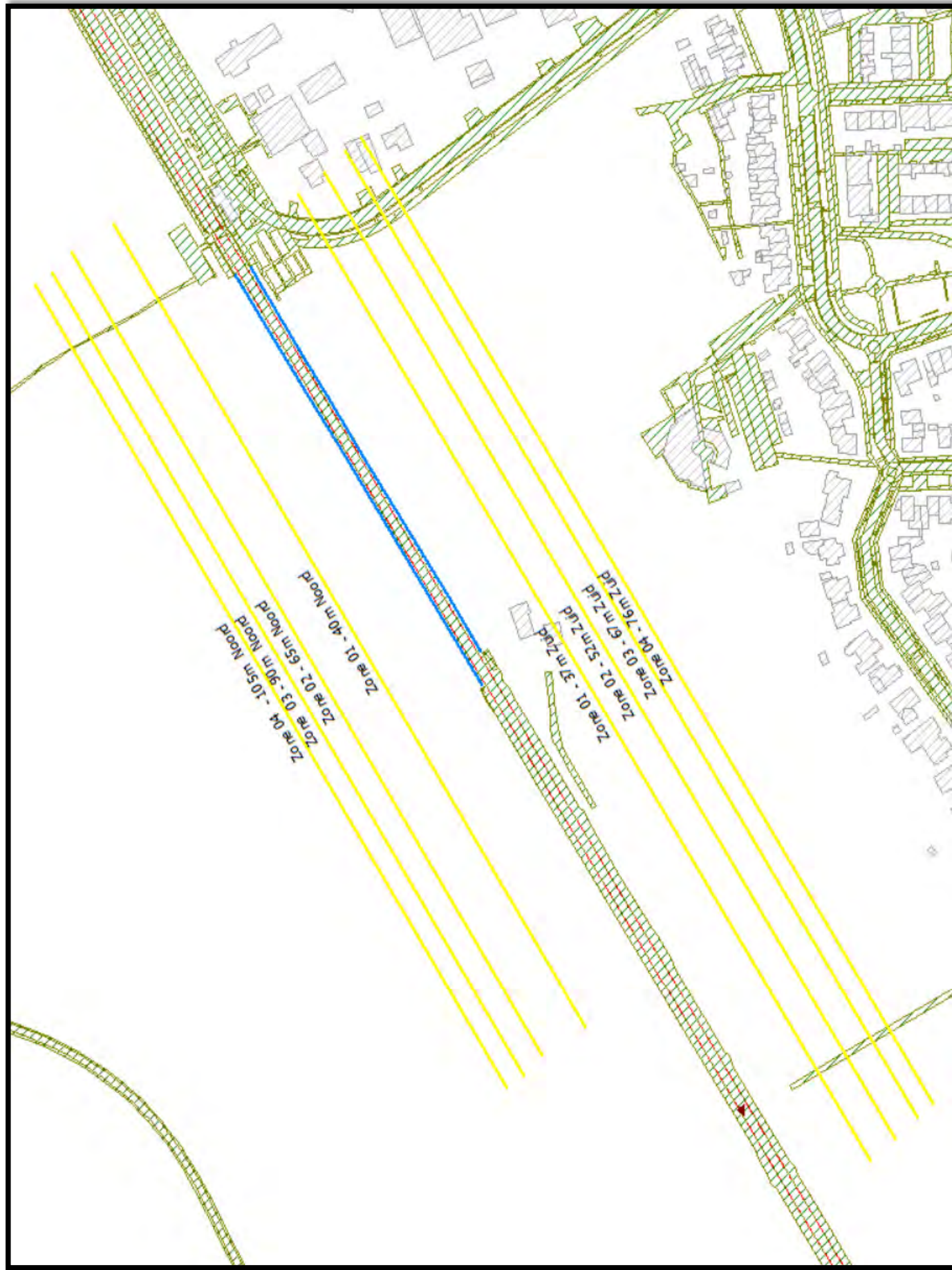
VSEW_m02 recommended configuration:
- Signal Raw Acceleration in Velocity X, Y, Z
- Sampling Frequency f = 500 Hz
- Highpass cutoff 1 Hz
- Autoflex mode with 30 s min quiet time

Summary Scatter Plot Time Spectral Pass/Fail



BIJLAGE 2: BEREKENINGSBLADEN

		Prognose resultaat op de vloer						
	Vanuit buitenste rails	Naam	Omschrijving	Dag Vmax	Avond Vmax	A1/A2 Norm	Nacht Vmax	A1/A2 Norm
Hfv= 2,50	Na zone 4 op 76 meter	04Z	Woningen ten Zuiden afstand 76[m]	X= 0,10@8Hz Y= 0,15@8Hz Z= 0,06@8Hz	X= 0,10@8Hz Y= 0,15@8Hz Z= 0,07@8Hz	0,1/0,4	X= 0,16@8Hz Y= 0,20@8Hz Z= 0,11@8Hz	0,1/0,2
Hfv= 2,00	Na zone 3 op 67 meter	03Z	Woningen ten Zuiden afstand 67[m]	X= 0,11@8Hz Y= 0,16@8Hz Z= 0,06@8Hz	X= 0,11@8Hz Y= 0,16@8Hz Z= 0,07@8Hz	0,1/0,4	X= 0,16@8Hz Y= 0,20@8Hz Z= 0,11@8Hz	0,1/0,2
Hfv=1,28	Na zone 2 op 52 meter	02Z	Woningen ten Zuiden afstand 52[m]	X= 0,10@8Hz Y= 0,15@8Hz Z= 0,06@8Hz	X= 0,10@8Hz Y= 0,15@8Hz Z= 0,07@8Hz	0,1/0,4	X= 0,16@8Hz Y= 0,20@8Hz Z= 0,11@8Hz	0,1/0,2
Hfv=0,80	Na zone 1 op 37 meter	01Z	Woningen ten Zuiden afstand 37[m]	X= 0,10@8Hz Y= 0,15@8Hz Z= 0,06@8Hz	X= 0,10@8Hz Y= 0,15@8Hz Z= 0,07@8Hz	0,1/0,4	X= 0,16@8Hz Y= 0,20@8Hz Z= 0,11@8Hz	0,1/0,2
Hfv=0,80	Na zone 1 op 40 meter	01N	Woningen ten Noorden afstand 40[m]	X= 0,19@8Hz Y= 0,15@8Hz Z= 0,18@4Hz	X= 0,19@32Hz Y= 0,15@32Hz Z= 0,16@4Hz	0,1/0,4	X= 0,19@8Hz Y= 0,15@8Hz Z= 0,20@4Hz	0,1/0,2
Hfv=2,50	Na zone 4 op 105 meter	04N	Woningen ten Noorden afstand 105[m]	X= 0,10@8Hz Y= 0,08@8Hz Z= 0,18@4Hz	X= 0,10@32Hz Y= 0,08@32Hz Z= 0,16@4Hz	0,1/0,4	X= 0,10@8Hz Y= 0,08@8Hz Z= 0,20@4Hz	0,1/0,2
Hfv=1,28	Na zone 2 op 65 meter	02N	Woningen ten Noorden afstand 65[m]	X= 0,15@8Hz Y= 0,11@8Hz Z= 0,18@4Hz	X= 0,15@32Hz Y= 0,11@32Hz Z= 0,15@4Hz	0,1/0,4	X= 0,15@8Hz Y= 0,11@8Hz Z= 0,20@4Hz	0,1/0,2
Hfv= 2,00	Na zone 3 op 90 meter	03N	Woningen ten Noorden afstand 90[m]	X= 0,12@8Hz Y= 0,12@8Hz Z= 0,09@4Hz	X= 0,12@32Hz Y= 0,09@32Hz Z= 0,16@4Hz	0,1/0,4	X= 0,12@8Hz Y= 0,09@8Hz Z= 0,20@4Hz	0,1/0,2



Indicatieve tabel eigenfrequenties diverse vloerconstructies

Eigenfrequentie vlgns Hicks	Breedplaatvloer 200 mm beton 90mm zand+cement	Breedplaatvloer 300 mm beton 90mm zand+cement	Breedplaatvloer 400 mm beton 90mm zand+cement	Breedplaatvloer 500 mm beton 90mm zand+cement	Breedplaatvloer 600 mm beton 90mm zand+cement
Overspanning	Scharnierend	Scharnierend	Scharnierend	Scharnierend	Scharnierend
5	13,85	20,78	27,71	34,64	41,56
7	7,07	10,6	14,14	17,67	21,71
9	4,28	6,41	8,55	10,69	12,83
Eigenfrequentie vlgns Hicks	Tunnelbouw o.v. 200 mm beton 90mm zand+cement	Tunnelbouw o.v. 300 mm beton 90mm zand+cement	Tunnelbouw o.v. 400 mm beton 90mm zand+cement	Tunnelbouw o.v. 500 mm beton 90mm zand+cement	Tunnelbouw o.v. 600 mm beton 90mm zand+cement
Overspanning	Ingeklemd	Ingeklemd	Ingeklemd	Ingeklemd	Ingeklemd
5	31,44	47,16	62,88	78,6	94,33
7	16,04	24,06	32,08	40,1	48,13
9	9,7	14,56	19,41	24,26	29,11
Eigenfrequentie vlgns Hicks	Holle Kanaalplaat h=360mm 200+90mm afwerkvloer Druklaag 70mm	Holle Kanaalplaat h=420mm 260+90mm afwerkvloer Druklaag 70mm	Holle Kanaalplaat h=480mm 320+90mm afwerkvloer Druklaag 70mm	Holle Kanaalplaat h=560mm 400+90mm afwerkvloer Druklaag 70mm	
Overspanning	Scharnierend	Scharnierend	Scharnierend	Scharnierend	
5	16,46	21,4	26,34	32,92	
7	8,4	10,92	13,44	16,8	
9	5,08	6,6	8,13	10,16	
	Niet mogelijk				
	(Wellicht) mogelijk berekenen bij bouwwaanvraag				

Formule van Barkan

$$V_R = V_{R_0} * \left[\frac{R_0}{R} \right]^n e^{-\alpha(R-R_0)}$$

Waarin:
 V_R trillingssterkte (m/s) op een afstand R van de bron;
 V_{R_0} trillingssterkte (m/s) op een afstand R_0 van de bron;
 R afstand tussen immissiepunt en de bron;
 R_0 afstand tussen meetpunt en de bron;
 α materiaaldemping in de bodem (1/m);
 n n = 1 tot 2 voor P- en S-golven;
 n = 0.5 voor R-golven.

Rekenmodel met Barkan formule en frequentie afhankelijke overdrachtfuncties

Wonigen op 37 afstand van het spoor, ten zuiden.

Invoergegevens berekeningen:

RO [m]	R [m]	n [-]	α [1/m] Z	α [1/m] X	α [1/m] Y	Overdrachtfactor bodem - vloer Z	Overdrachtfactor bodem - vloer X	Overdrachtfactor bodem - vloer Y
15	37	0,5	0,02	0,02	0,02	0,8	0,8	0,8

Dagperiode

Z-richting										
	VR0 [-]	RO [m]	R [m]	n [-]	α [1/m] Z		VR [-]	Frequentie [HZ]		
Ve _{eff,max}	0,18	15	37	0,5	0,02	Ve _{eff,max}	0,074	8		
V _{per}	0,03	15	37	0,5	0,02	V _{per}	0,012	-		
	Prognose trillingsniveaus (op de vloer) [-]									
V _{max}	0,06									
V _{per}	0,01									
X-richting										
	VR0 [-]	RO [m]	R [m]	n [-]	α [1/m] X		VR [-]	Frequentie [HZ]		
Ve _{eff,max}	0,32	15	37	0,5	0,02	Ve _{eff,max}	0,131	8		
V _{per}	0,04	15	37	0,5	0,02	V _{per}	0,016	-		
	Prognose trillingsniveaus (op de vloer) [-]									
V _{max}	0,10									
V _{per}	0,01									
Y-richting										
	VR0 [-]	RO [m]	R [m]	n [-]	α [1/m] Y		VR [-]	Frequentie [HZ]		
Ve _{eff,max}	0,47	15	37	0,5	0,02	Ve _{eff,max}	0,193	8		
V _{per}	0,04	15	37	0,5	0,02	V _{per}	0,016	-		
	Prognose trillingsniveaus (op de vloer) [-]									
V _{max}	0,15									
V _{per}	0,01									

Avondperiode

Z-richting										
	VR0 [-]	RO [m]	R [m]	n [-]	α [1/m] Z		VR [-]	Frequentie [HZ]		
Ve _{eff,max}	0,20	15	37	0,5	0,02	Ve _{eff,max}	0,082	8		
V _{per}	0,03	15	37	0,5	0,02	V _{per}	0,012	-		
	Prognose trillingsniveaus (op de vloer) [-]									
V _{max}	0,07									
V _{per}	0,01									
X-richting										
	VR0 [-]	RO [m]	R [m]	n [-]	α [1/m] X		VR [-]	Frequentie [HZ]		
Ve _{eff,max}	0,32	15	37	0,5	0,02	Ve _{eff,max}	0,131	8		
V _{per}	0,04	15	37	0,5	0,02	V _{per}	0,016	-		
	Prognose trillingsniveaus (op de vloer) [-]									
V _{max}	0,10									
V _{per}	0,01									
Y-richting										
	VR0 [-]	RO [m]	R [m]	n [-]	α [1/m] Y		VR [-]	Frequentie [HZ]		
Ve _{eff,max}	0,47	15	37	0,5	0,02	Ve _{eff,max}	0,193	8		
V _{per}	0,04	15	37	0,5	0,02	V _{per}	0,016	-		
	Prognose trillingsniveaus (op de vloer) [-]									
V _{max}	0,15									
V _{per}	0,01									

Nachtperiode

Z-richting

	VR0 [-]	RO [m]	R [m]	n [-]	α [1/m] Z
Veff,max	0,33	15	37	0,5	0,02
Vper	0,03	15	37	0,5	0,02

	VR [-]	Frequentie [HZ]
Veff,max	0,14	8
Vper	0,01	-

	Prognose trillingsniveaus (op de vloer) [-]
Vmax	0,11
Vper	0,01

X-richting

	VR0 [-]	RO [m]	R [m]	n [-]	α [1/m] X
Veff,max	0,48	15	37	0,5	0,02
Vper	0,04	15	37	0,5	0,02

	VR [-]	Frequentie [HZ]
Veff,max	0,20	8
Vper	0,02	-

	Prognose trillingsniveaus (op de vloer) [-]
Vmax	0,16
Vper	0,01

Y-richting

	VR0 [-]	RO [m]	R [m]	n [-]	α [1/m] Y
Veff,max	0,61	15	37	0,5	0,02
Vper	0,04	15	37	0,5	0,02

	VR [-]	Frequentie [HZ]
Veff,max	0,25	8
Vper	0,02	-

	Prognose trillingsniveaus (op de vloer) [-]
Vmax	0,20
Vper	0,01

Formule van Barkan

$$V_R = V_{R_0} * \left[\frac{R_0}{R} \right]^n e^{-\alpha(R-R_0)}$$

Waarin:
 V_R trillingssterkte (m/s) op een afstand R van de bron;
 V_{R_0} trillingssterkte (m/s) op een afstand R_0 van de bron;
 R afstand tussen immissiepunt en de bron;
 R_0 afstand tussen meetpunt en de bron;
 α materiaaldemping in de bodem (1/m);
 n n = 1 tot 2 voor P- en S-golven;
 n = 0.5 voor R-golven.

Rekenmodel met Barkan formule en frequentie afhankelijke overdrachtfuncties

Wonigen op 52 afstand van het spoor, ten zuiden.

Invoergegevens berekeningen:

RO [m]	R [m]	n [-]	α [1/m] Z	α [1/m] X	α [1/m] Y	Overdrachtfactor bodem - vloer Z	Overdrachtfactor bodem - vloer X	Overdrachtfactor bodem - vloer Y
15	52	0,5	0,02	0,02	0,02	1,28	1,28	1,28

Dagperiode

Z-richting										
	VR0 [-]	RO [m]	R [m]	n [-]	α [1/m] Z		VR [-]	Frequentie [HZ]		
Ve _{eff,max}	0,18	15	52	0,5	0,02	Ve _{eff,max}	0,046	8		
V _{per}	0,03	15	52	0,5	0,02	V _{per}	0,008	-		
	Prognose trillingsniveaus (op de vloer) [-]									
V _{max}	0,06									
V _{per}	0,01									
X-richting										
	VR0 [-]	RO [m]	R [m]	n [-]	α [1/m] X		VR [-]	Frequentie [HZ]		
Ve _{eff,max}	0,32	15	52	0,5	0,02	Ve _{eff,max}	0,082	8		
V _{per}	0,04	15	52	0,5	0,02	V _{per}	0,010	-		
	Prognose trillingsniveaus (op de vloer) [-]									
V _{max}	0,10									
V _{per}	0,01									
Y-richting										
	VR0 [-]	RO [m]	R [m]	n [-]	α [1/m] Y		VR [-]	Frequentie [HZ]		
Ve _{eff,max}	0,47	15	52	0,5	0,02	Ve _{eff,max}	0,120	8		
V _{per}	0,04	15	52	0,5	0,02	V _{per}	0,010	-		
	Prognose trillingsniveaus (op de vloer) [-]									
V _{max}	0,15									
V _{per}	0,01									

Avondperiode

Z-richting										
	VR0 [-]	RO [m]	R [m]	n [-]	α [1/m] Z		VR [-]	Frequentie [HZ]		
Ve _{eff,max}	0,20	15	52	0,5	0,02	Ve _{eff,max}	0,051	8		
V _{per}	0,03	15	52	0,5	0,02	V _{per}	0,008	-		
	Prognose trillingsniveaus (op de vloer) [-]									
V _{max}	0,07									
V _{per}	0,01									
X-richting										
	VR0 [-]	RO [m]	R [m]	n [-]	α [1/m] X		VR [-]	Frequentie [HZ]		
Ve _{eff,max}	0,32	15	52	0,5	0,02	Ve _{eff,max}	0,082	8		
V _{per}	0,04	15	52	0,5	0,02	V _{per}	0,010	-		
	Prognose trillingsniveaus (op de vloer) [-]									
V _{max}	0,10									
V _{per}	0,01									
Y-richting										
	VR0 [-]	RO [m]	R [m]	n [-]	α [1/m] Y		VR [-]	Frequentie [HZ]		
Ve _{eff,max}	0,47	15	52	0,5	0,02	Ve _{eff,max}	0,120	8		
V _{per}	0,04	15	52	0,5	0,02	V _{per}	0,010	-		
	Prognose trillingsniveaus (op de vloer) [-]									
V _{max}	0,15									
V _{per}	0,01									

Nachtperiode

Z-richting

	VR0 [-]	RO [m]	R [m]	n [-]	α [1/m] Z
Veff,max	0,33	15	52	0,5	0,02
Vper	0,03	15	52	0,5	0,02

	VR [-]	Frequentie [HZ]
Veff,max	0,08	8
Vper	0,01	-

	Prognose trillingsniveaus (op de vloer) [-]
Vmax	0,11
Vper	0,01

X-richting

	VR0 [-]	RO [m]	R [m]	n [-]	α [1/m] X
Veff,max	0,48	15	52	0,5	0,02
Vper	0,04	15	52	0,5	0,02

	VR [-]	Frequentie [HZ]
Veff,max	0,12	8
Vper	0,01	-

	Prognose trillingsniveaus (op de vloer) [-]
Vmax	0,16
Vper	0,01

Y-richting

	VR0 [-]	RO [m]	R [m]	n [-]	α [1/m] Y
Veff,max	0,61	15	52	0,5	0,02
Vper	0,04	15	52	0,5	0,02

	VR [-]	Frequentie [HZ]
Veff,max	0,16	8
Vper	0,01	-

	Prognose trillingsniveaus (op de vloer) [-]
Vmax	0,20
Vper	0,01

Formule van Barkan

$$V_R = V_{R_0} * \left[\frac{R_0}{R} \right]^n e^{-\alpha(R-R_0)}$$

Waarin:
 V_R trillingssterkte (m/s) op een afstand R van de bron;
 V_{R_0} trillingssterkte (m/s) op een afstand R_0 van de bron;
 R afstand tussen immissiepunt en de bron;
 R_0 afstand tussen meetpunt en de bron;
 α materiaaldemping in de bodem (1/m);
 n n = 1 tot 2 voor P- en S-golven;
 n = 0.5 voor R-golven.

Rekenmodel met Barkan formule en frequentie afhankelijke overdrachtfuncties

Wonigen op 69 meters afstand van het spoor, ten zuiden.

Invoergegevens berekeningen:

RO [m]	R [m]	n [-]	α [1/m] Z	α [1/m] X	α [1/m] Y	Overdrachtfactor bodem - vloer Z	Overdrachtfactor bodem - vloer X	Overdrachtfactor bodem - vloer Y
15	67	0,5	0,02	0,02	0,02	2	2	2

Dagperiode

Z-richting										
	VR0 [-]	RO [m]	R [m]	n [-]	α [1/m] Z		VR [-]	Frequentie [HZ]		
Ve _{eff,max}	0,18	15	67	0,5	0,02	Ve _{eff,max}	0,030	8		
V _{per}	0,03	15	67	0,5	0,02	V _{per}	0,005	-		
	Prognose trillingsniveaus (op de vloer) [-]									
V _{max}	0,06									
V _{per}	0,01									
X-richting										
	VR0 [-]	RO [m]	R [m]	n [-]	α [1/m] X		VR [-]	Frequentie [HZ]		
Ve _{eff,max}	0,32	15	67	0,5	0,02	Ve _{eff,max}	0,054	8		
V _{per}	0,04	15	67	0,5	0,02	V _{per}	0,007	-		
	Prognose trillingsniveaus (op de vloer) [-]									
V _{max}	0,11									
V _{per}	0,01									
Y-richting										
	VR0 [-]	RO [m]	R [m]	n [-]	α [1/m] Y		VR [-]	Frequentie [HZ]		
Ve _{eff,max}	0,47	15	67	0,5	0,02	Ve _{eff,max}	0,079	8		
V _{per}	0,04	15	67	0,5	0,02	V _{per}	0,007	-		
	Prognose trillingsniveaus (op de vloer) [-]									
V _{max}	0,16									
V _{per}	0,01									

Avondperiode

Z-richting										
	VR0 [-]	RO [m]	R [m]	n [-]	α [1/m] Z		VR [-]	Frequentie [HZ]		
Ve _{eff,max}	0,20	15	67	0,5	0,02	Ve _{eff,max}	0,033	8		
V _{per}	0,03	15	67	0,5	0,02	V _{per}	0,005	-		
	Prognose trillingsniveaus (op de vloer) [-]									
V _{max}	0,07									
V _{per}	0,01									
X-richting										
	VR0 [-]	RO [m]	R [m]	n [-]	α [1/m] X		VR [-]	Frequentie [HZ]		
Ve _{eff,max}	0,32	15	67	0,5	0,02	Ve _{eff,max}	0,054	8		
V _{per}	0,04	15	67	0,5	0,02	V _{per}	0,007	-		
	Prognose trillingsniveaus (op de vloer) [-]									
V _{max}	0,11									
V _{per}	0,01									
Y-richting										
	VR0 [-]	RO [m]	R [m]	n [-]	α [1/m] Y		VR [-]	Frequentie [HZ]		
Ve _{eff,max}	0,47	15	67	0,5	0,02	Ve _{eff,max}	0,079	8		
V _{per}	0,04	15	67	0,5	0,02	V _{per}	0,007	-		
	Prognose trillingsniveaus (op de vloer) [-]									
V _{max}	0,16									
V _{per}	0,01									

Nachtperiode

Z-richting

	VR0 [-]	R0 [m]	R [m]	n [-]	α [1/m] Z
Veff,max	0,33	15	67	0,5	0,02
Vper	0,03	15	67	0,5	0,02

	VR [-]	Frequentie [HZ]
Veff,max	0,055	8
Vper	0,005	-

	Prognose trillingsniveaus (op de vloer) [-]
Vmax	0,11
Vper	0,01

X-richting

	VR0 [-]	R0 [m]	R [m]	n [-]	α [1/m] X
Veff,max	0,48	15	67	0,5	0,02
Vper	0,04	15	67	0,5	0,02

	VR [-]	Frequentie [HZ]
Veff,max	0,080	8
Vper	0,007	-

	Prognose trillingsniveaus (op de vloer) [-]
Vmax	0,16
Vper	0,01

Y-richting

	VR0 [-]	R0 [m]	R [m]	n [-]	α [1/m] Y
Veff,max	0,61	15	67	0,5	0,02
Vper	0,04	15	67	0,5	0,02

	VR [-]	Frequentie [HZ]
Veff,max	0,102	8
Vper	0,007	-

	Prognose trillingsniveaus (op de vloer) [-]
Vmax	0,20
Vper	0,01

Formule van Barkan

$$V_R = V_{R_0} * \left[\frac{R_0}{R} \right]^n e^{-\alpha(R-R_0)}$$

Waarin:
 V_R trillingssterkte (m/s) op een afstand R van de bron;
 V_{R_0} trillingssterkte (m/s) op een afstand R_0 van de bron;
 R afstand tussen immissiepunt en de bron;
 R_0 afstand tussen meetpunt en de bron;
 α materiaaldemping in de bodem (1/m);
 n n = 1 tot 2 voor P- en S-golven;
 n = 0.5 voor R-golven.

Rekenmodel met Barkan formule en frequentie afhankelijke overdrachtfuncties

Woningen op 65 meters afstand van het spoor, ten noorden.

Invoergegevens berekeningen:

RO [m]	R [m]	n [-]	α [1/m] Z	α [1/m] X	α [1/m] Y	Overdrachtfactor bodem - vloer Z	Overdrachtfactor bodem - vloer X	Overdrachtfactor bodem - vloer Y
25	65	0,5	0,01	0,02	0,02	1,28	1,28	1,28

Dagperiode

Z-richting										
	VR0 [-]	RO [m]	R [m]	n [-]	α [1/m] Z		VR [-]	Frequentie [HZ]		
Ve _{eff,max}	0,33	25	65	0,5	0,01	Ve _{eff,max}	0,137	4		
V _{per}	0,03	25	65	0,5	0,01	V _{per}	0,012	-		
	Prognose trillingsniveaus (op de vloer) [-]									
V _{max}	0,18									
V _{per}	0,02									
X-richting										
	VR0 [-]	RO [m]	R [m]	n [-]	α [1/m] X		VR [-]	Frequentie [HZ]		
Ve _{eff,max}	0,41	25	65	0,5	0,02	Ve _{eff,max}	0,114	8		
V _{per}	0,04	25	65	0,5	0,02	V _{per}	0,011	-		
	Prognose trillingsniveaus (op de vloer) [-]									
V _{max}	0,15									
V _{per}	0,01									
Y-richting										
	VR0 [-]	RO [m]	R [m]	n [-]	α [1/m] Y		VR [-]	Frequentie [HZ]		
Ve _{eff,max}	0,32	25	65	0,5	0,02	Ve _{eff,max}	0,089	8		
V _{per}	0,04	25	65	0,5	0,02	V _{per}	0,011	-		
	Prognose trillingsniveaus (op de vloer) [-]									
V _{max}	0,11									
V _{per}	0,01									

Avondperiode

Z-richting										
	VR0 [-]	RO [m]	R [m]	n [-]	α [1/m] Z		VR [-]	Frequentie [HZ]		
Ve _{eff,max}	0,29	25	65	0,5	0,01	Ve _{eff,max}	0,121	4		
V _{per}	0,03	25	65	0,5	0,01	V _{per}	0,012	-		
	Prognose trillingsniveaus (op de vloer) [-]									
V _{max}	0,15									
V _{per}	0,02									
X-richting										
	VR0 [-]	RO [m]	R [m]	n [-]	α [1/m] X		VR [-]	Frequentie [HZ]		
Ve _{eff,max}	0,41	25	65	0,5	0,02	Ve _{eff,max}	0,114	32		
V _{per}	0,04	25	65	0,5	0,02	V _{per}	0,011	-		
	Prognose trillingsniveaus (op de vloer) [-]									
V _{max}	0,15									
V _{per}	0,01									
Y-richting										
	VR0 [-]	RO [m]	R [m]	n [-]	α [1/m] Y		VR [-]	Frequentie [HZ]		
Ve _{eff,max}	0,32	25	65	0,5	0,02	Ve _{eff,max}	0,089	32		
V _{per}	0,04	25	65	0,5	0,02	V _{per}	0,011	-		
	Prognose trillingsniveaus (op de vloer) [-]									
V _{max}	0,11									
V _{per}	0,01									

Nachtperiode

Z-richting

	VR0 [-]	R0 [m]	R [m]	n [-]	α [1/m] Z
Veff,max	0,37	25	65	0,5	0,01
Vper	0,03	25	65	0,5	0,01

	VR [-]	Frequentie [HZ]
Veff,max	0,154	4
Vper	0,012	-

	Prognose trillingsniveaus (op de vloer) [-]
Vmax	0,20
Vper	0,02

X-richting

	VR0 [-]	R0 [m]	R [m]	n [-]	α [1/m] X
Veff,max	0,41	25	65	0,5	0,02
Vper	0,05	25	65	0,5	0,02

	VR [-]	Frequentie [HZ]
Veff,max	0,114	8
Vper	0,014	-

	Prognose trillingsniveaus (op de vloer) [-]
Vmax	0,15
Vper	0,02

Y-richting

	VR0 [-]	R0 [m]	R [m]	n [-]	α [1/m] Y
Veff,max	0,32	25	65	0,5	0,02
Vper	0,04	25	65	0,5	0,02

	VR [-]	Frequentie [HZ]
Veff,max	0,089	8
Vper	0,011	-

	Prognose trillingsniveaus (op de vloer) [-]
Vmax	0,11
Vper	0,01

Formule van Barkan

$$V_R = V_{R_0} * \left[\frac{R_0}{R} \right]^n e^{-\alpha(R-R_0)}$$

Waarin:
 V_R trillingssterkte (m/s) op een afstand R van de bron;
 V_{R_0} trillingssterkte (m/s) op een afstand R_0 van de bron;
 R afstand tussen immissiepunt en de bron;
 R_0 afstand tussen meetpunt en de bron;
 α materiaaldemping in de bodem (1/m);
 n n = 1 tot 2 voor P- en S-golven;
 n = 0.5 voor R-golven.

Rekenmodel met Barkan formule en frequentie afhankelijke overdrachtfuncties

Woningen op 90 meters afstand van het spoor, ten noorden.

Invoergegevens berekeningen:

RO [m]	R [m]	n [-]	α [1/m] Z	α [1/m] X	α [1/m] Y	Overdrachtfactor bodem - vloer Z	Overdrachtfactor bodem - vloer X	Overdrachtfactor bodem - vloer Y
25	90	0,5	0,01	0,02	0,02	2	2	2

Dagperiode

		Z-richting								
		VR0 [-]	RO [m]	R [m]	n [-]	α [1/m] Z		VR [-]	Frequentie [HZ]	
Ve _{eff,max}		0,33	25	90	0,5	0,01	Ve _{eff,max}	0,091	4	
V _{per}		0,03	25	90	0,5	0,01	V _{per}	0,008	-	
		Prognose trillingsniveaus (op de vloer) [-]								
V _{max}		0,18								
V _{per}		0,02								
		X-richting								
		VR0 [-]	RO [m]	R [m]	n [-]	α [1/m] X		VR [-]	Frequentie [HZ]	
Ve _{eff,max}		0,41	25	90	0,5	0,02	Ve _{eff,max}	0,059	8	
V _{per}		0,04	25	90	0,5	0,02	V _{per}	0,006	-	
		Prognose trillingsniveaus (op de vloer) [-]								
V _{max}		0,12								
V _{per}		0,01								
		Y-richting								
		VR0 [-]	RO [m]	R [m]	n [-]	α [1/m] Y		VR [-]	Frequentie [HZ]	
Ve _{eff,max}		0,32	25	90	0,5	0,02	Ve _{eff,max}	0,046	8	
V _{per}		0,04	25	90	0,5	0,02	V _{per}	0,006	-	
		Prognose trillingsniveaus (op de vloer) [-]								
V _{max}		0,09								
V _{per}		0,01								

Avondperiode

		Z-richting								
		VR0 [-]	RO [m]	R [m]	n [-]	α [1/m] Z		VR [-]	Frequentie [HZ]	
Ve _{eff,max}		0,29	25	90	0,5	0,01	Ve _{eff,max}	0,080	4	
V _{per}		0,03	25	90	0,5	0,01	V _{per}	0,008	-	
		Prognose trillingsniveaus (op de vloer) [-]								
V _{max}		0,16								
V _{per}		0,02								
		X-richting								
		VR0 [-]	RO [m]	R [m]	n [-]	α [1/m] X		VR [-]	Frequentie [HZ]	
Ve _{eff,max}		0,41	25	90	0,5	0,02	Ve _{eff,max}	0,059	32	
V _{per}		0,04	25	90	0,5	0,02	V _{per}	0,006	-	
		Prognose trillingsniveaus (op de vloer) [-]								
V _{max}		0,12								
V _{per}		0,01								
		Y-richting								
		VR0 [-]	RO [m]	R [m]	n [-]	α [1/m] Y		VR [-]	Frequentie [HZ]	
Ve _{eff,max}		0,32	25	90	0,5	0,02	Ve _{eff,max}	0,046	32	
V _{per}		0,04	25	90	0,5	0,02	V _{per}	0,006	-	
		Prognose trillingsniveaus (op de vloer) [-]								
V _{max}		0,09								
V _{per}		0,01								

Nachtperiode

Z-richting

	VR0 [-]	R0 [m]	R [m]	n [-]	α [1/m] Z
Veff,max	0,37	25	90	0,5	0,01
Vper	0,03	25	90	0,5	0,01

	VR [-]	Frequentie [HZ]
Veff,max	0,102	4
Vper	0,008	-

	Prognose trillingsniveaus (op de vloer) [-]
Vmax	0,20
Vper	0,02

X-richting

	VR0 [-]	R0 [m]	R [m]	n [-]	α [1/m] X
Veff,max	0,41	25	90	0,5	0,02
Vper	0,05	25	90	0,5	0,02

	VR [-]	Frequentie [HZ]
Veff,max	0,059	8
Vper	0,007	-

	Prognose trillingsniveaus (op de vloer) [-]
Vmax	0,12
Vper	0,01

Y-richting

	VR0 [-]	R0 [m]	R [m]	n [-]	α [1/m] Y
Veff,max	0,32	25	90	0,5	0,02
Vper	0,04	25	90	0,5	0,02

	VR [-]	Frequentie [HZ]
Veff,max	0,046	8
Vper	0,006	-

	Prognose trillingsniveaus (op de vloer) [-]
Vmax	0,09
Vper	0,01

Formule van Barkan

$$V_R = V_{R_0} * \left[\frac{R_0}{R} \right]^n e^{-\alpha(R-R_0)}$$

Waarin:
 V_R trillingssterkte (m/s) op een afstand R van de bron;
 V_{R_0} trillingssterkte (m/s) op een afstand R_0 van de bron;
 R afstand tussen immissiepunt en de bron;
 R_0 afstand tussen meetpunt en de bron;
 α materiaaldemping in de bodem (1/m);
 n n = 1 tot 2 voor P- en S-golven;
 n = 0.5 voor R-golven.

Rekenmodel met Barkan formule en frequentie afhankelijke overdrachtfuncties

Woningen op 40 meters afstand van het spoor, ten noorden.

Invoergegevens berekeningen:

RO [m]	R [m]	n [-]	α [1/m] Z	α [1/m] X	α [1/m] Y	Overdrachtfactor bodem - vloer Z	Overdrachtfactor bodem - vloer X	Overdrachtfactor bodem - vloer Y
25	40	0,5	0,01	0,02	0,02	0,8	0,8	0,8

Dagperiode

Z-richting										
	VR0 [-]	RO [m]	R [m]	n [-]	α [1/m] Z		VR [-]	Frequentie [HZ]		
Ve _{eff,max}	0,33	25	40	0,5	0,01	Ve _{eff,max}	0,225	4		
V _{per}	0,03	25	40	0,5	0,01	V _{per}	0,020	-		
	Prognose trillingsniveaus (op de vloer) [-]									
V _{max}	0,18									
V _{per}	0,02									
X-richting										
	VR0 [-]	RO [m]	R [m]	n [-]	α [1/m] X		VR [-]	Frequentie [HZ]		
Ve _{eff,max}	0,41	25	40	0,5	0,02	Ve _{eff,max}	0,240	8		
V _{per}	0,04	25	40	0,5	0,02	V _{per}	0,023	-		
	Prognose trillingsniveaus (op de vloer) [-]									
V _{max}	0,19									
V _{per}	0,02									
Y-richting										
	VR0 [-]	RO [m]	R [m]	n [-]	α [1/m] Y		VR [-]	Frequentie [HZ]		
Ve _{eff,max}	0,32	25	40	0,5	0,02	Ve _{eff,max}	0,187	8		
V _{per}	0,04	25	40	0,5	0,02	V _{per}	0,023	-		
	Prognose trillingsniveaus (op de vloer) [-]									
V _{max}	0,15									
V _{per}	0,02									

Avondperiode

Z-richting										
	VR0 [-]	RO [m]	R [m]	n [-]	α [1/m] Z		VR [-]	Frequentie [HZ]		
Ve _{eff,max}	0,29	25	40	0,5	0,01	Ve _{eff,max}	0,197	4		
V _{per}	0,03	25	40	0,5	0,01	V _{per}	0,020	-		
	Prognose trillingsniveaus (op de vloer) [-]									
V _{max}	0,16									
V _{per}	0,02									
X-richting										
	VR0 [-]	RO [m]	R [m]	n [-]	α [1/m] X		VR [-]	Frequentie [HZ]		
Ve _{eff,max}	0,41	25	40	0,5	0,02	Ve _{eff,max}	0,240	32		
V _{per}	0,04	25	40	0,5	0,02	V _{per}	0,023	-		
	Prognose trillingsniveaus (op de vloer) [-]									
V _{max}	0,19									
V _{per}	0,02									
Y-richting										
	VR0 [-]	RO [m]	R [m]	n [-]	α [1/m] Y		VR [-]	Frequentie [HZ]		
Ve _{eff,max}	0,32	25	40	0,5	0,02	Ve _{eff,max}	0,187	32		
V _{per}	0,04	25	40	0,5	0,02	V _{per}	0,023	-		
	Prognose trillingsniveaus (op de vloer) [-]									
V _{max}	0,15									
V _{per}	0,02									

Nachtperiode

Z-richting

	VR0 [-]	R0 [m]	R [m]	n [-]	α [1/m] Z
Veff,max	0,37	25	40	0,5	0,01
Vper	0,03	25	40	0,5	0,01

	VR [-]	Frequentie [HZ]
Veff,max	0,252	4
Vper	0,020	-

	Prognose trillingsniveaus (op de vloer) [-]
Vmax	0,20
Vper	0,02

X-richting

	VR0 [-]	R0 [m]	R [m]	n [-]	α [1/m] X
Veff,max	0,41	25	40	0,5	0,02
Vper	0,05	25	40	0,5	0,02

	VR [-]	Frequentie [HZ]
Veff,max	0,240	8
Vper	0,029	-

	Prognose trillingsniveaus (op de vloer) [-]
Vmax	0,19
Vper	0,02

Y-richting

	VR0 [-]	R0 [m]	R [m]	n [-]	α [1/m] Y
Veff,max	0,32	25	40	0,5	0,02
Vper	0,04	25	40	0,5	0,02

	VR [-]	Frequentie [HZ]
Veff,max	0,187	8
Vper	0,023	-

	Prognose trillingsniveaus (op de vloer) [-]
Vmax	0,15
Vper	0,02

Formule van Barkan

$$V_R = V_{R0} * \left[\frac{R_0}{R} \right]^n e^{-\alpha(R-R_0)}$$

Waarin:
 V_R trillingssterkte (m/s) op een afstand R van de bron;
 V_{R0} trillingssterkte (m/s) op een afstand R_0 van de bron;
 R afstand tussen immissiepunt en de bron;
 R_0 afstand tussen meetpunt en de bron;
 α materiaaldemping in de bodem (1/m);
 n = 1 tot 2 voor P- en S-golven;
 n = 0.5 voor R-golven.

Rekenmodel met Barkan formule en frequentie afhankelijke overdrachtfuncties

Woningen op 105 afstand van het spoor, ten noorden.

Invoergegevens berekeningen:

R0 [m]	R [m]	n [-]	α [1/m] Z	α [1/m] X	α [1/m] Y	Overdrachtfactor bodem - vloer Z	Overdrachtfactor bodem - vloer X	Overdrachtfactor bodem - vloer Y
25	105	0,5	0,01	0,02	0,02	2,5	2,5	2,5

Dagperiode

Z-richting								
	VR0 [-]	RO [m]	R [m]	n [-]	α [1/m] Z		VR [-]	Frequentie [HZ]
Ve _{eff,max}	0,33	25	105	0,5	0,01	Ve _{eff,max}	0,072	4
V _{per}	0,03	25	105	0,5	0,01	V _{per}	0,007	-
	Prognose trillingsniveaus (op de vloer) [-]							
V _{max}	0,18							
V _{per}	0,02							
X-richting								
	VR0 [-]	RO [m]	R [m]	n [-]	α [1/m] X		VR [-]	Frequentie [HZ]
Ve _{eff,max}	0,41	25	105	0,5	0,02	Ve _{eff,max}	0,040	8
V _{per}	0,04	25	105	0,5	0,02	V _{per}	0,004	-
	Prognose trillingsniveaus (op de vloer) [-]							
V _{max}	0,10							
V _{per}	0,01							
Y-richting								
	VR0 [-]	RO [m]	R [m]	n [-]	α [1/m] Y		VR [-]	Frequentie [HZ]
Ve _{eff,max}	0,32	25	105	0,5	0,02	Ve _{eff,max}	0,032	8
V _{per}	0,04	25	105	0,5	0,02	V _{per}	0,004	-
	Prognose trillingsniveaus (op de vloer) [-]							
V _{max}	0,08							
V _{per}	0,01							

Avondperiode

Z-richting								
	VR0 [-]	RO [m]	R [m]	n [-]	α [1/m] Z		VR [-]	Frequentie [HZ]
Ve _{eff,max}	0,29	25	105	0,5	0,01	Ve _{eff,max}	0,064	4
V _{per}	0,03	25	105	0,5	0,01	V _{per}	0,007	-
	Prognose trillingsniveaus (op de vloer) [-]							
V _{max}	0,16							
V _{per}	0,02							
X-richting								
	VR0 [-]	RO [m]	R [m]	n [-]	α [1/m] X		VR [-]	Frequentie [HZ]
Ve _{eff,max}	0,41	25	105	0,5	0,02	Ve _{eff,max}	0,040	8
V _{per}	0,04	25	105	0,5	0,02	V _{per}	0,004	-
	Prognose trillingsniveaus (op de vloer) [-]							
V _{max}	0,10							
V _{per}	0,01							
Y-richting								
	VR0 [-]	RO [m]	R [m]	n [-]	α [1/m] Y		VR [-]	Frequentie [HZ]
Ve _{eff,max}	0,32	25	105	0,5	0,02	Ve _{eff,max}	0,032	8
V _{per}	0,04	25	105	0,5	0,02	V _{per}	0,004	-
	Prognose trillingsniveaus (op de vloer) [-]							
V _{max}	0,08							
V _{per}	0,01							

Nachtperiode

Z-richting

	VR0 [-]	R0 [m]	R [m]	n [-]	α [1/m] Z
Veff,max	0,37	25	105	0,5	0,01
Vper	0,03	25	105	0,5	0,01

	VR [-]	Frequentie [HZ]
Veff,max	0,081	4
Vper	0,007	-

	Prognose trillingsniveaus (op de vloer) [-]
Vmax	0,20
Vper	0,02

X-richting

	VR0 [-]	R0 [m]	R [m]	n [-]	α [1/m] X
Veff,max	0,41	25	105	0,5	0,02
Vper	0,05	25	105	0,5	0,02

	VR [-]	Frequentie [HZ]
Veff,max	0,040	8
Vper	0,005	-

	Prognose trillingsniveaus (op de vloer) [-]
Vmax	0,10
Vper	0,01

Y-richting

	VR0 [-]	R0 [m]	R [m]	n [-]	α [1/m] Y
Veff,max	0,32	25	105	0,5	0,02
Vper	0,04	25	105	0,5	0,02

	VR [-]	Frequentie [HZ]
Veff,max	0,032	8
Vper	0,004	-

	Prognose trillingsniveaus (op de vloer) [-]
Vmax	0,08
Vper	0,01

BIJLAGE 3: TERMEN EN DEFINITIES VAN SBR-B

4 Termen en definities

Opmerking: de termen en definities zijn, voor zover van toepassing, in overeenstemming met NEN-ISO 2041 [3]

Amplitude-frequentiekaracteristiek: de verhouding tussen ingaand en uitgaand signaal van een meetsysteem als functie van de frequentie, gegeven in een zeker frequentie-interval.

Beoordelingsperiode: een tijdsinterval waarin een dag wordt verdeeld voor de toetsing van de trillingssterkte aan de streefwaarden:
de dagperiode van 07.00 uur tot 19.00 uur;
de avondperiode van 19.00 uur tot 23.00 uur;
de nachtperiode van 23.00 uur tot 07.00 uur.

Continue trilling: een trilling die ten opzichte van de grootste trillingstijd (laagste eigenfrequentie) gedurende een lange tijd aanwezig is.

Frequentie: de reciproque van de trillingstijd.

Herhaald voorkomende trilling: kortdurende trilling door weg- of railverkeer (waaronder ook heftrucks, bulldozers, kranen op rails en dergelijke) met een repeterend karakter.

Kortdurende trilling: trilling met een kortdurend (doorgaans korter dan enkele seconden), uitdempend karakter. De trilling wordt veroorzaakt door een stootvormige excitatie.

Niet-stationaire trilling: continue trilling waarvan de sterkte als functie van de tijd niet constant is, of een kortdurende trilling.

Meetduur: tijdsduur waarin met één configuratie meetpunten een meting wordt uitgevoerd.

Meetpunt: positie waar een trillingsgrootte (versnelling, snelheid, verplaatsing) wordt gemeten.

Meetrichting: de richting waarin de trillingsgrootte (versnelling, snelheid, verplaatsing) in een meetpunt wordt gemeten.

Meting: het bepalen van de momentane waarde van de trillingsgrootte gedurende een zekere aaneengesloten tijdsduur door middel van een meetmethode.

Momentane waarde: de waarde van een variërende grootte op een zeker tijdstip.

Snelheid: een vectoriële grootte die de tijdsafgeleide van de verplaatsing weergeeft.

Stationaire trilling: continue trilling die gedurende een lange aaneengesloten periode met een constante sterkte voorkomt.

Streefwaarde: de waarde voor de trillingssterkte waarbij verwacht wordt dat er nog geen trillingshinder optreedt.

Trilling: een variatie van een grootte (verplaatsing, snelheid, versnelling) als functie van de tijd, die de beweging of de positie van een systeem beschrijft waarbij de grootte afwisselend groter en kleiner is dan een gemiddelde waarde.

Trillingssterkte (Engels: vibration severity): in het algemeen de aanduiding van de sterkte of grootte van de trilling in relatie tot het van belang zijnde trillingseffect. In het geval van hinder wordt onder de trillingssterkte verstaan de effectieve waarde van de gewogen trillingsgrootte.

Trillingstijd: de kleinste verschuiving in de tijd waarbij een periodieke tijdsfunctie met zichzelf samenvalt.

Topwaarde: de in absolute zin grootste afwijking van een grootte ten opzichte van de gemiddelde waarde gedurende een zeker tijdsinterval.

Verplaatsing: een vectoriële grootte die de verandering van een positie van een lichaam of van een punt aanduidt ten opzichte van een zekere referentie.

Versnelling: een vectoriële grootte die de tijdsafgeleide van de snelheid weergeeft

5 Eenheden en grootheden

5.1 Eenheden

De te gebruiken eenheden en grootheden moeten in overeenstemming zijn met het Internationale Stelsel van Eenheden (SI), zoals vermeld in hoofdstuk 4 (tabel 6, 8 en 9) en bijlage A, beiden van NEN 999:1977, en met NEN 1000:1986.

<p>N</p> <p>n</p> <p>t</p> <p>T_b</p> <p>T_m</p> <p>T_o</p> <p>τ</p> <p>V_{max}</p> <p>V_{per}</p>	<p>aantal aaneensluitende tijdsintervallen van 30 seconden in een beoordelingsperiode; voor de dagperiode van 07.00 tot 19.00 uur, $N = 1440$ voor de dagperiode van 07.00 tot 19.00 uur, $N = 1440$ voor de avondperiode van 19.00 tot 23.00 uur, $N = 480$ voor de nachtperiode van 23.00 tot 07.00 uur, $N = 960$</p> <p>aantal gehele tijdsintervallen van 30 seconden binnen de duur van een meting tijd, in s</p> <p>totale tijdsduur dat een trillingsbron in bedrijf is in een beoordelingsperiode, in s</p> <p>tijdsduur van de meting, in s</p> <p>tijdsduur van de beoordelingsperiode, in s</p> <p>tijdconstante, in s</p> <p>grootste waarde van $v_{eff,max}$ in de beschouwde ruimte, dimensioneloos</p> <p>trillingssterkte over de beoordelingsperiode behorende bij de ruimte, dimensioneloos en bepaald op basis van de kwadratisch gemiddelde effectieve waarde van de maxima $v_{eff,max,30,i}$. Deze waarde dient uitsluitend te worden bepaald voor het meetpunt en de meetrichting waarin de grootste waarde V_{max} voor de ruimte volgens 9.7 is bepaald.</p> <p>momentane waarde van de gewogen trillingsgroottheid, dimensioneloos</p> <p>voortschrijdende effectieve waarde van de gewogen momentane trillingsgroottheid, dimensioneloos</p> <p>de grootste waarde van $v_{eff}(t)$ over de meetduur, dimensioneloos</p> <p>de grootste waarde van $v_{eff}(t)$ in een tijdsinterval van 30 seconden, dimensioneloos</p> <p>de statistisch bepaalde grootste waarde van $v_{eff}(t)$ over de meetduur, dimensioneloos</p> <p>referentiewaarde van de wegingfunctie, $v_o = 1,0$ mm/s</p> <p>de kwadratisch gemiddelde effectieve waarde van $v_{eff,max,30,i}$ over de meetperiode</p> <p>maximale referentie fase-frequentie karakteristiek voor het meetstelsel, in graden</p> <p>de fase-frequentiekarakteristiek van het meetstelsel, in graden</p>
---	--

5.2 Grootheden

In het kader van deze meet- en beoordelingsrichtlijn worden bij voorkeur de hieronder gegeven eenheden aangehouden.

a	versnelling, in m/s^2
f	frequentie, in Hz
f_e	eigenfrequentie, in Hz
g	zwaartekrachtversnelling (9,81 m/s^2)
T	trillingstijd, in s
u	verplaatsing, in mm
v	snelheid, in mm/s

5.3 Gehanteerde symbolen

De verder in deze richtlijn gehanteerde symbolen zijn hieronder weergegeven.

A_1	streefwaarde voor de trillingssterkte V_{max} dimensioneloos	$v(t)$	momentane waarde van de gewogen trillingsgroottheid, dimensioneloos
A_2	maximale waarde voor de trillingssterkte V_{max} dimensioneloos	$v_{eff}(t)$	voortschrijdende effectieve waarde van de gewogen momentane trillingsgroottheid, dimensioneloos
A_3	streefwaarde voor de trillingssterkte V_{per} dimensioneloos	$v_{eff,max}$	de grootste waarde van $v_{eff}(t)$ over de meetduur, dimensioneloos
f	frequentie, in Hz	$v_{eff,max,30,i}$	de grootste waarde van $v_{eff}(t)$ in een tijdsinterval van 30 seconden, dimensioneloos
f^*	frequentie in Hz, waarvoor $\phi(f) = 0$	$v_{eff,max,stat}$	de statistisch bepaalde grootste waarde van $v_{eff}(t)$ over de meetduur, dimensioneloos
f_{max}	grensfrequentie van het laagdoorlaatfilter, in Hz	v_o	referentiewaarde van de wegingfunctie, $v_o = 1,0$ mm/s
f_{min}	grensfrequentie van het hoogdoorlaatfilter, in Hz	$v_{per,meet}$	de kwadratisch gemiddelde effectieve waarde van $v_{eff,max,30,i}$ over de meetperiode
f_o	kantelfrequentie van het wegingsfilter, $f_o = 5,6$ Hz	$\phi(f)$	maximale referentie fase-frequentie karakteristiek voor het meetstelsel, in graden
$H_a(f)$	wegingfunctie trillingsversnelling, s^2/m	$\phi_m(f)$	de fase-frequentiekarakteristiek van het meetstelsel, in graden
$H_v(f)$	wegingfunctie trillingsnelheid, s/mm		
i	variabele die het interval van 30 seconden aangeeft waarin $v_{eff,max,30,i}$ is gemeten		

BIJLAGE 4: TEKENINGEN

Zone mei 2023 maatregelen gebouwen

10 mei 2023, 16:38



Zone mei 2023 maatregelen gebouwen

10 mei 2023, 16:38



